

egd

OMEXOM

Č.výkř.zhot.: 505020100501  
Č.zak.zhot.: 505020100501

MÍSTO STAVBY:  
NÁZEV STAVBY:  
IDENTIFIKACE CELKU:  
STAVEBNÍK/VLASTNÍK:

TR 110/22 kV BLANSKO  
TR BLANSKO - ROZŠ. R110kV, DOPLNĚNÍ T103  
POLE VÝVODU - VN853  
EG.D, a.s.

SO/PS:  
MAJETKOVÁ TŘÍDA:  
ČÍSLO SOD/OBJ:  
OBJEDNATEL:

PS31 - OCHRANY  
CZ000042  
4501338395  
EG.D, a.s.

EVU modul 4.9

05.08.2021 BK R110 R22-DPS-20210731  
AA01  
=AJA20&EAA  
CE1

REFERENČNÍ OZNAČENÍ PŘEDMĚTU		DRUH DOKUMENTU POŘADOVÉ ČÍSLO	
=AJA20	+ASJ20	&EAA	AA01
ČÍSLO STAVBY:			
1020002620			
STATUS:			
DPS			
INDEX REVIZE:			
BK=AJA20+ASJ20&EAA/AA01			
ČÍSLO VÝKRESU:			
BK=AJA20+ASJ20&EAA/AA01			
TITULNÍ LIST			
Datum:		31.07.2021	
Vypracoval:		MUDRA	
Schválil:		LETEV	
Norma:			
List:		1	
Celkem:		69	

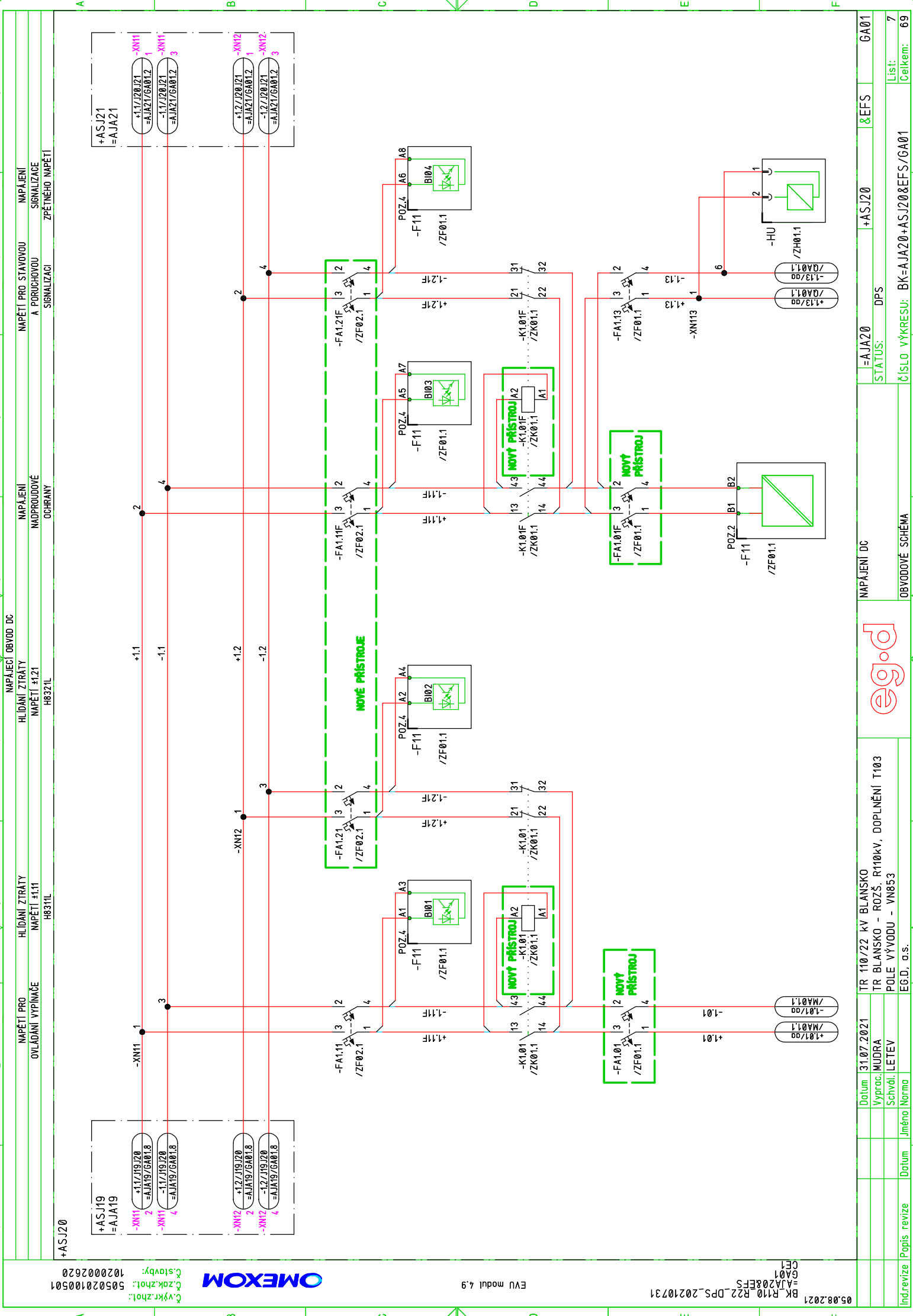
ČÍSLO STAVBY STATUS		ČÍSLO VÝKRESU	INDEX REVIZE	OSNAČENÍ DOKUMENTU	LIST	POZNÁMKA
ČÍSLO STAVBY STATUS		ČÍSLO VÝKRESU	INDEX REVIZE	OSNAČENÍ DOKUMENTU	LIST	POZNÁMKA
A	10200002620 DPS	BK=AJA20+ASJ20&EAA/AA01		EAA =AJA20 +ASJ20	1	TITULNÍ LIST
	10200002620 DPS	BK=AJA20+ASJ20&EAB/AB01		EAB =AJA20 +ASJ20	2	SEZNAM DOKUMENTACE
	10200002620 DPS	BK=AJA20+ASJ20&EAB/AB02		EAB =AJA20 +ASJ20	3	SEZNAM DOKUMENTACE
	10200002620 DPS	BK=AJA20+ASJ20&EAB/AB03		EAB =AJA20 +ASJ20	4	SEZNAM DOKUMENTACE
B	10200002620 DPS	BK=AJA20+ASJ20&EFA/BA01		EFA =AJA20 +ASJ20	5	JEDNOPÓLOVÉ SCHÉMA PŘEHLEDOVÉ SCHÉMA
	10200002620 DPS	BK=AJA20+ASJ20&EFA/BC01		EFA =AJA20 +ASJ20	6	BLOKOVÉ SCHÉMA PŘEHLEDOVÉ SCHÉMA
	10200002620 DPS	BK=AJA20+ASJ20&EFS/GA01		EFS =AJA20 +ASJ20	7	NAPÁJENÍ DC OBVODOVÉ SCHÉMA
	10200002620 DPS	BK=AJA20+ASJ20&EFS/GA02		EFS =AJA20 +ASJ20	8	NAPÁJENÍ POHONU DC OBVODOVÉ SCHÉMA
C	10200002620 DPS	BK=AJA20+ASJ20&EFS/MA01		EFS =AJA20 +ASJ20	9	OVLADÁNÍ QM (ZAP/VYP) OBVODOVÉ SCHÉMA
	10200002620 DPS	BK=AJA20+ASJ20&EFS/MA02		EFS =AJA20 +ASJ20	10	OVLADÁNÍ ODPOJOVAČŮ OBVODOVÉ SCHÉMA
	10200002620 DPS	BK=AJA20+ASJ20&EFS/NA01		EFS =AJA20 +ASJ20	11	LOGICKÁ OCHRANA PŘÍPOJNIC OBVODOVÉ SCHÉMA
	10200002620 DPS	BK=AJA20+ASJ20&EFS/NA02		EFS =AJA20 +ASJ20	12	OVLADÁNÍ ODSAVÁNÍ SF6 OBVODOVÉ SCHÉMA
D	10200002620 DPS	BK=AJA20+ASJ20&EFS/QA01		EFS =AJA20 +ASJ20	13	STAVOVÁ SIGNALIZACE OBVODOVÉ SCHÉMA
	10200002620 DPS	BK=AJA20+ASJ20&EFS/RA01		EFS =AJA20 +ASJ20	14	PORUCHOVÁ SIGNALIZACE OBVODOVÉ SCHÉMA
	10200002620 DPS	BK=AJA20+ASJ20&EFS/RA02		EFS =AJA20 +ASJ20	15	PORUCHOVÁ SIGNALIZACE OBVODOVÉ SCHÉMA
	10200002620 DPS	BK=AJA20+ASJ20&EFS/SA01		EFS =AJA20 +ASJ20	16	PTP OBVODOVÉ SCHÉMA
E	10200002620 DPS	BK=AJA20+ASJ20&EFS/SV01		EFS =AJA20 +ASJ20	17	PTN OBVODOVÉ SCHÉMA
	10200002620 DPS	BK=AJA20+ASJ20&EFS/VA01		EFS =AJA20 +ASJ20	18	KOMUNKACE OBVODOVÉ SCHÉMA
	10200002620 DPS	BK=AJA20+ASJ20&EFS/XA01		EFS =AJA20 +ASJ20	19	REZERVNÍ SVORKY OBVODOVÉ SCHÉMA
	10200002620 DPS	BK=AJA20+ASJ20&EFS/Z_F11_01		EFS =AJA20 +ASJ20	20	VNITŘNÍ ZAPOJENÍ (OSAZENÍ SÍPROTEC 5) OBVODOVÉ SCHÉMA
F	10200002620 DPS	BK=AJA20+ASJ20&EFS/Z_F11_02		EFS =AJA20 +ASJ20	21	VNITŘNÍ ZAPOJENÍ (I0202 P0Z.1) OBVODOVÉ SCHÉMA
	10200002620 DPS	BK=AJA20+ASJ20&EFS/Z_F11_03		EFS =AJA20 +ASJ20	22	VNITŘNÍ ZAPOJENÍ (PS201 P0Z.2) OBVODOVÉ SCHÉMA
	10200002620 DPS	BK=AJA20+ASJ20&EFS/Z_F11_04		EFS =AJA20 +ASJ20	23	VNITŘNÍ ZAPOJENÍ (I0205 P0Z.3) OBVODOVÉ SCHÉMA
	10200002620 DPS	BK=AJA20+ASJ20&EFS/Z_F11_05		EFS =AJA20 +ASJ20	24	VNITŘNÍ ZAPOJENÍ (I0206 P0Z.4) OBVODOVÉ SCHÉMA
G	10200002620 DPS	BK=AJA20+ASJ20&EFS/Z_QA_01		EFS =AJA20 +ASJ20	25	VNITŘNÍ ZAPOJENÍ OBVODOVÉ SCHÉMA
	10200002620 DPS	BK=AJA20+ASJ20&EFS/Z_QM_01		EFS =AJA20 +ASJ20	26	VNITŘNÍ ZAPOJENÍ OBVODOVÉ SCHÉMA
	10200002620 DPS	BK=AJA20+ASJ20&EFS/Z_QB_01		EFS =AJA20 +ASJ20	27	VNITŘNÍ ZAPOJENÍ OBVODOVÉ SCHÉMA
	10200002620 DPS	BK=AJA20+ASJ20&EFS/Z_SO_01		EFS =AJA20 +ASJ20	28	VNITŘNÍ ZAPOJENÍ OBVODOVÉ SCHÉMA
H	10200002620 DPS	BK=AJA20+ASJ20&EFS/ZF01		EFS =AJA20 +ASJ20	29	VÝKRES POUŽITÝCH PRVKŮ OBVODOVÉ SCHÉMA
	10200002620 DPS	BK=AJA20+ASJ20&EFS/ZF02		EFS =AJA20 +ASJ20	30	VÝKRES POUŽITÝCH PRVKŮ OBVODOVÉ SCHÉMA
	10200002620 DPS	BK=AJA20+ASJ20&EFS/ZH01		EFS =AJA20 +ASJ20	31	VÝKRES POUŽITÝCH PRVKŮ OBVODOVÉ SCHÉMA
	10200002620 DPS	BK=AJA20+ASJ20&EFS/ZH01		EFS =AJA20 +ASJ20	31	VÝKRES POUŽITÝCH PRVKŮ OBVODOVÉ SCHÉMA
Ind.revize		Popis revize	Datum	Jméno	Norma	Ind.revize
Datum		31.07.2021	TR 110/22 kV BLANSKO	SEZNAM DOKUMENTACE		AB01
Vyprac.		MUDRA	TR BLANSKO - ROZŠ. R10kV, DOPLNĚNÍ T103	STATUS: DPS		2
Schvál.		LETEV	POLE VÝVODU - VN853	ČÍSLO VÝKRESU: BK=AJA20+ASJ20&EAB/AB01		Celkem: 69
Jméno		Norma	EG.D, a.s.	List:		
Datum		31.07.2021	TR 110/22 kV BLANSKO	Celkem:		
Vyprac.		MUDRA	TR BLANSKO - ROZŠ. R10kV, DOPLNĚNÍ T103	STATUS: DPS		
Schvál.		LETEV	POLE VÝVODU - VN853	ČÍSLO VÝKRESU: BK=AJA20+ASJ20&EAB/AB01		
Jméno		Norma	EG.D, a.s.	List:		
Datum		31.07.2021	TR 110/22 kV BLANSKO	Celkem:		

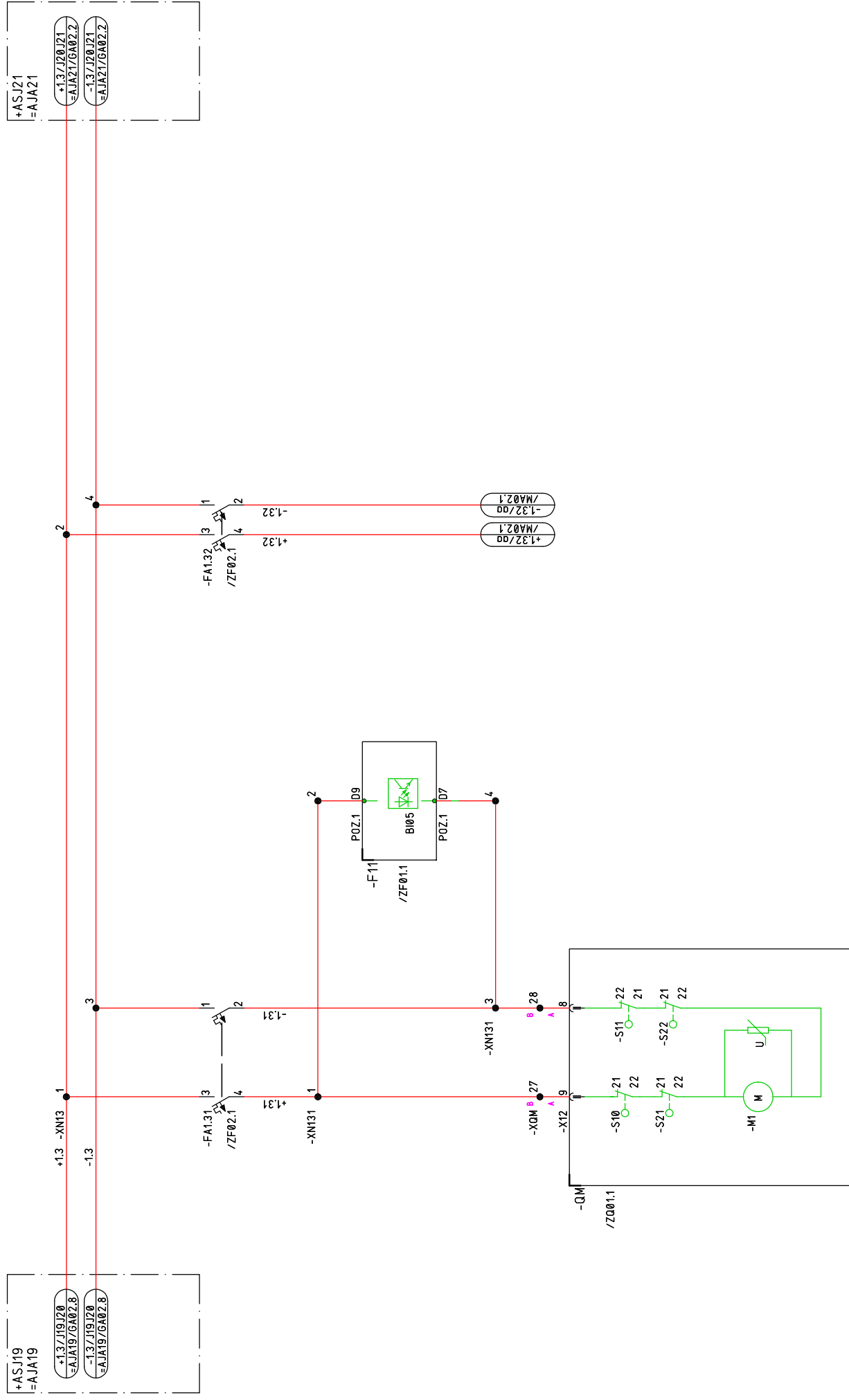
05.08.2021		BK-AJ20&EAB		R2-DPS-20210731		05.08.2021		31.07.2021		TR 110/22 kV BLANSKO		TR BLANSKO - ROZŠ. R110kV, DOPLNĚNÍ T103		EGD		SEZNAM DOKUMENTACE		STATUS:		=AJA20		+ASJ20		&EAB		AB02					
Ind.revize		Pops revize		Datum		Jméno		Norma		Schvál.		Výprac.		MUDRA		Datum		31.07.2021		Výprac.		MUDRA		Datum		Jméno		Norma			
Číslo stavby		STATUS		Číslo výkresu		INDEX REVIZE		Označení dokumentu		Druh referenční označení		Označení listu		LIST		POZNÁMKA															
1020002620		DPS		BK-AJA20+ASJ20&EFS/ZK01				EFS		=AJA20		ZK01		32		VÝKRES POUŽITÝCH PRVKŮ															
1020002620		DPS		BK-AJA20+ASJ20&EFS/ZK02				EFS		=AJA20		ZK02		33		VÝKRES POUŽITÝCH PRVKŮ															
1020002620		DPS		BK-AJA20+ASJ20&EFS/ZL01				EFS		=AJA20		ZL01		34		VÝKRES POUŽITÝCH PRVKŮ															
1020002620		DPS		BK-AJA20+ASJ20&EFS/ZQ01				EFS		=AJA20		ZQ01		35		VÝKRES POUŽITÝCH PRVKŮ															
1020002620		DPS		BK-AJA20+ASJ20&EFS/ZQ02				EFS		=AJA20		ZQ02		36		VÝKRES POUŽITÝCH PRVKŮ															
1020002620		DPS		BK-AJA20+ASJ20&EFS/ZR01				EFS		=AJA20		ZR01		37		VÝKRES POUŽITÝCH PRVKŮ															
1020002620		DPS		BK-AJA20+ASJ20&EFS/ZS01				EFS		=AJA20		ZS01		38		VÝKRES POUŽITÝCH PRVKŮ															
1020002620		DPS		BK-AJA20+ASJ20&EMB/WA01				EMB		=AJA20		WA01		39		SEZNAM KABELŮ															
1020002620		DPS		BK-AJA20+ASJ20&EMB/WB01				EMB		=AJA20		WB01		40		SESTAVA ZAPOJENÍ KABELŮ															
1020002620		DPS		BK-AJA20+ASJ20&EPB/GL01				EPB		=AJA20		GL01		41		SEZNAM PRVKŮ															
1020002620		DPS		BK-AJA20+ASJ20&EPB/GL02				EPB		=AJA20		GL02		42		SEZNAM PRVKŮ															
1020002620		DPS		BK-AJA20+ASJ20&EPB/GL03				EPB		=AJA20		GL03		43		SEZNAM PRVKŮ															
1020002620		DPS		BK-AJA20+ASJ20&ELU/DD01				ELU		=AJA20		DD01		44		POHLED NA ROZVÁDEČ															
1020002620		DPS		BK-AJA20+ASJ20&EMA/K10				EMA		=AJA20		K10		45		SESTAVA SVORKOVNICE															
1020002620		DPS		BK-AJA20+ASJ20&EMA/K20				EMA		=AJA20		K20		46		SESTAVA SVORKOVNICE															
1020002620		DPS		BK-AJA20+ASJ20&EMA/K30				EMA		=AJA20		K30		47		SESTAVA SVORKOVNICE															
1020002620		DPS		BK-AJA20+ASJ20&EMA/K40				EMA		=AJA20		K40		48		SESTAVA SVORKOVNICE															
1020002620		DPS		BK-AJA20+ASJ20&EMA/K50				EMA		=AJA20		K50		49		SESTAVA SVORKOVNICE															
1020002620		DPS		BK-AJA20+ASJ20&EMA/K60				EMA		=AJA20		K60		50		SESTAVA SVORKOVNICE															
1020002620		DPS		BK-AJA20+ASJ20&EMA/K70				EMA		=AJA20		K70		51		SESTAVA SVORKOVNICE															
1020002620		DPS		BK-AJA20																											

1		2		3		4		5		6		7		8	
Číslo stavby STATUS	Číslo výkresu	Index revize	Označení dokumentu		List	Poznámka									
			Druh referenční označení	Označ. listu											
	10200002620 DPS		BK=AJA20+ASJ20&EMA/K131	EMA =AJA20 +ASJ20	K131	63	SESTAVA SVORKOVNICE +ASJ20-XQM ZAPOJOVACÍ TABULKA								
A	10200002620 DPS		BK=AJA20+ASJ20&EMA/K132	EMA =AJA20 +ASJ20	K132	64	SESTAVA SVORKOVNICE +ASJ20-XQM ZAPOJOVACÍ TABULKA								
	10200002620 DPS		BK=AJA20+ASJ20&EMA/K133	EMA =AJA20 +ASJ20	K133	65	SESTAVA SVORKOVNICE +ASJ20-XQM ZAPOJOVACÍ TABULKA								
	10200002620 DPS		BK=AJA20+ASJ20&EMA/K140	EMA =AJA20 +ASJ20	K140	66	SESTAVA SVORKOVNICE +ASJ20-XR ZAPOJOVACÍ TABULKA								
	10200002620 DPS		BK=AJA20+ASJ20&EMA/K150	EMA =AJA20 +ASJ20	K150	67	SESTAVA SVORKOVNICE +ASJ20-XS4 ZAPOJOVACÍ TABULKA								
	10200002620 DPS		BK=AJA20+ASJ20&EMA/K160	EMA =AJA20 +ASJ20	K160	68	SESTAVA SVORKOVNICE +ASJ20-XV ZAPOJOVACÍ TABULKA								
	10200002620 DPS		BK=AJA20+ASJ20&EMA/K170	EMA =AJA20 +ASJ20	K170	69	SESTAVA SVORKOVNICE +ASJ20-XN12 ZAPOJOVACÍ TABULKA								
B															
C															
D															
E															
F															

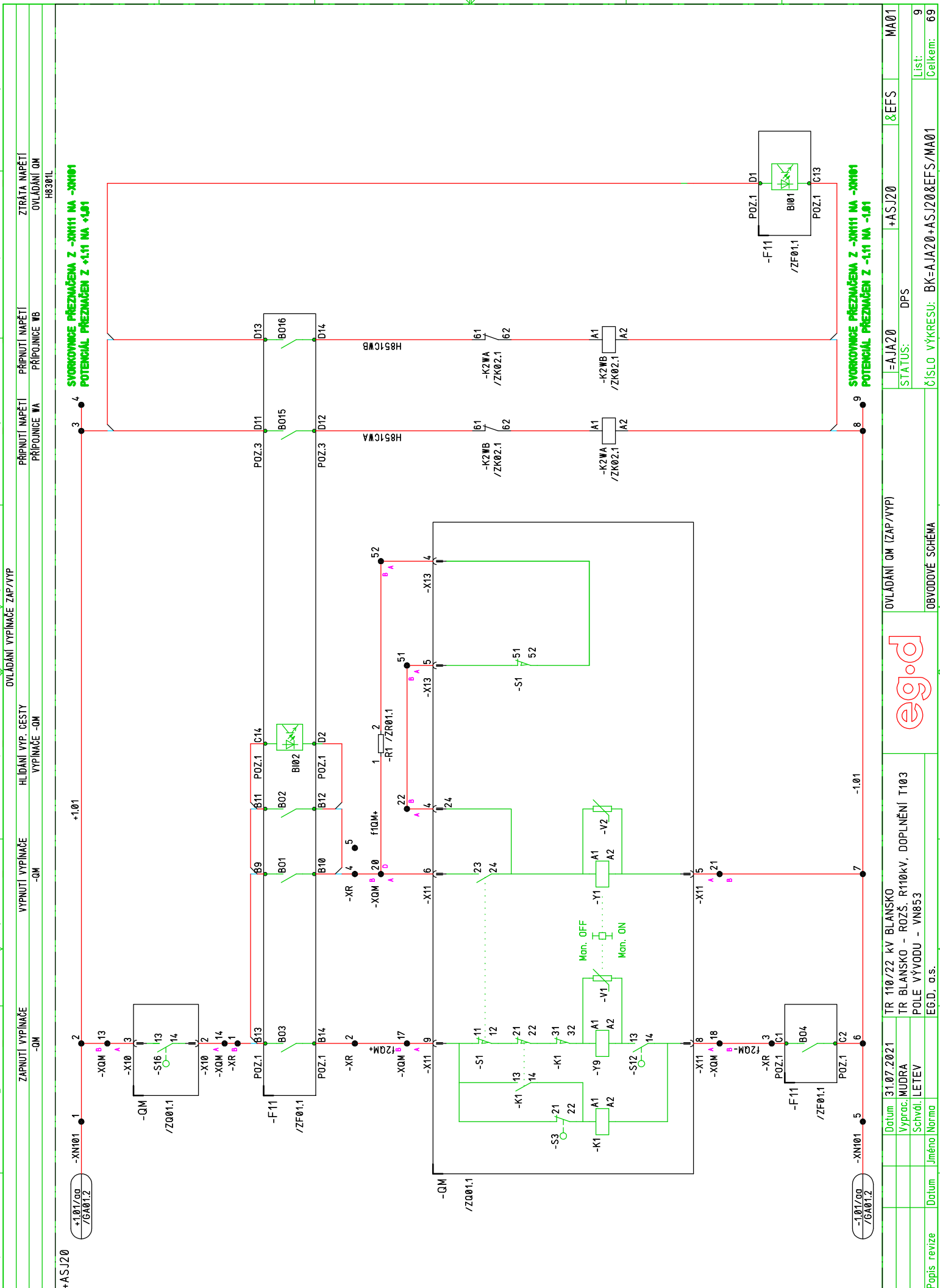




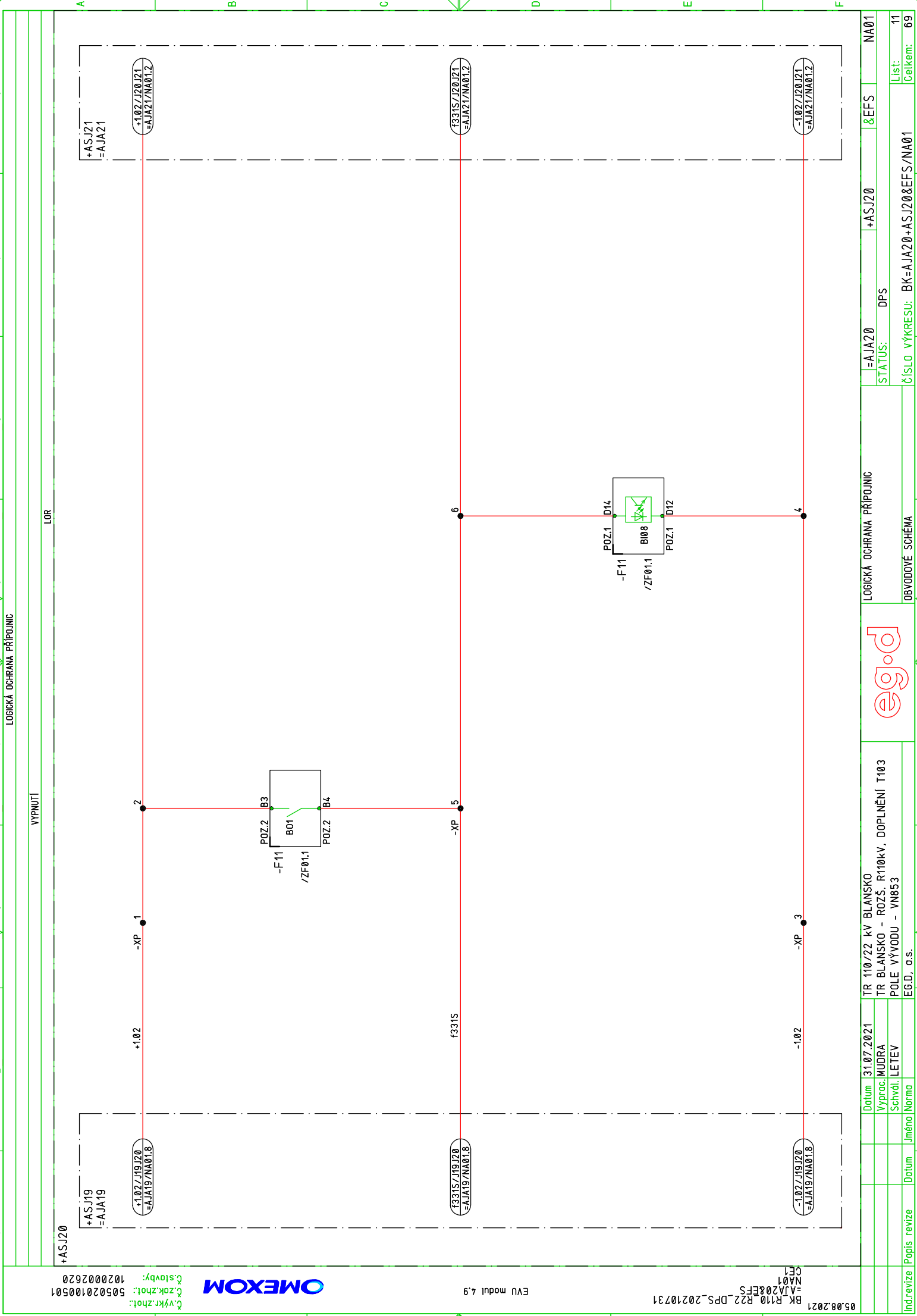


[illegible]







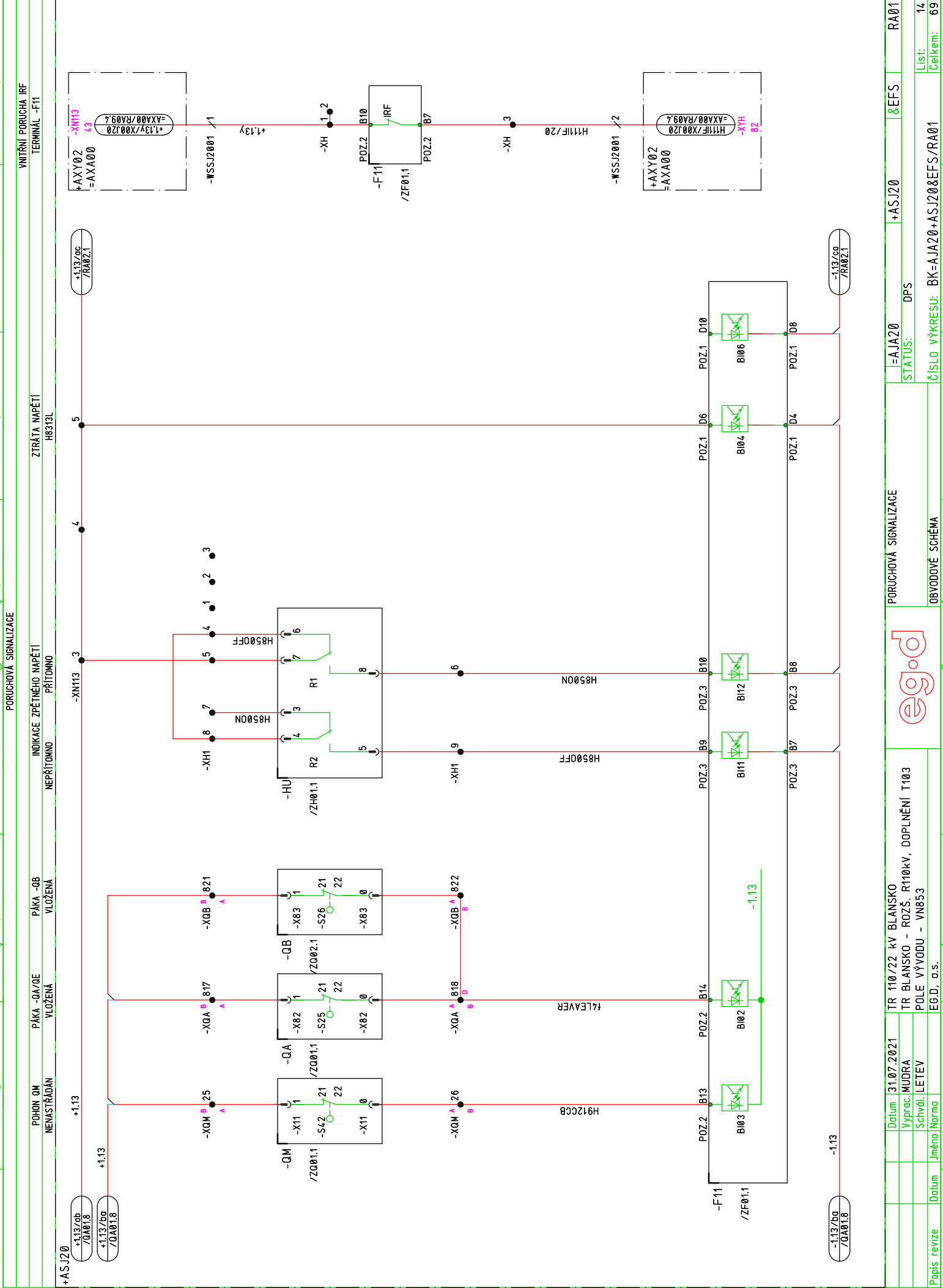


05.08.2021	BK R110 R22-DPS-20210731	EVU modul 4.9	OMEXOM	Č.výkr.zhot.: 505020100501	Č.zak.zhot.: 1020002620	Č.výkr.zhot.: 1020002620
------------	--------------------------	---------------	--------	----------------------------	-------------------------	--------------------------

1	2	3	4	5	6	7	8
LOGICKÁ OCHRANA PŘÍPOJNIC							
VYPRNUŤI							
LOR							
+ASJ20							
+ASJ21 -AJA21							
+102/J20J21 -AJA21/NA01.2							
f331S/J20J21 -AJA21/NA01.2							
-102/J20J21 -AJA21/NA01.2							
+ASJ19 -AJA19							
+102/J19J20 -AJA19/NA01.8							
f331S/J19J20 -AJA19/NA01.8							
-102/J19J20 -AJA19/NA01.8							
TR 110/22 kV BLANSKO							
TR BLANSKO - R07S, R110kV, DOPLNĚNÍ T103							
POLE VÝVODU - VN853							
EGD, a.s.							
EGD							
LOGICKÁ OCHRANA PŘÍPOJNIC							
STATUS: DPS							
Číslo výkresu: BK-AJA20+ASJ20&EFS/NA01							
List: 11							
Celkem: 69							







Indirevize

Popis revize

Datum

Jméno

Norma

EGD, a.s.

POLE VÝVODU - VN853

TR BLANSKO - R07S, R110kV, DOPLNĚNÍ T103

TR 110/22 kV BLANSKO

31.07.2021

Datum

Yprac: MUDRA

Schvál: LETEV

Vyproc: MUDRA

STATUS: DPS

-AJA20

+ASJ20

&EFS

RA01

Číslo výkresu: BK-AJA20+ASJ20&EFS/RA01

List: 14

Celkem: 69

1

2

3

4

5

6

7

8













ZAPOJENÍ 7SJ85 - vývod VN853 - 22 kV zapouzdřené R

10206  
POZ.4  
/ZF01.1

10205  
POZ.3  
/ZF011

PS201  
POZ:2

10202  
POZ.1

1.  $\text{C}_2\text{H}_4$  and  $\text{C}_2\text{H}_2$  are not aromatic.

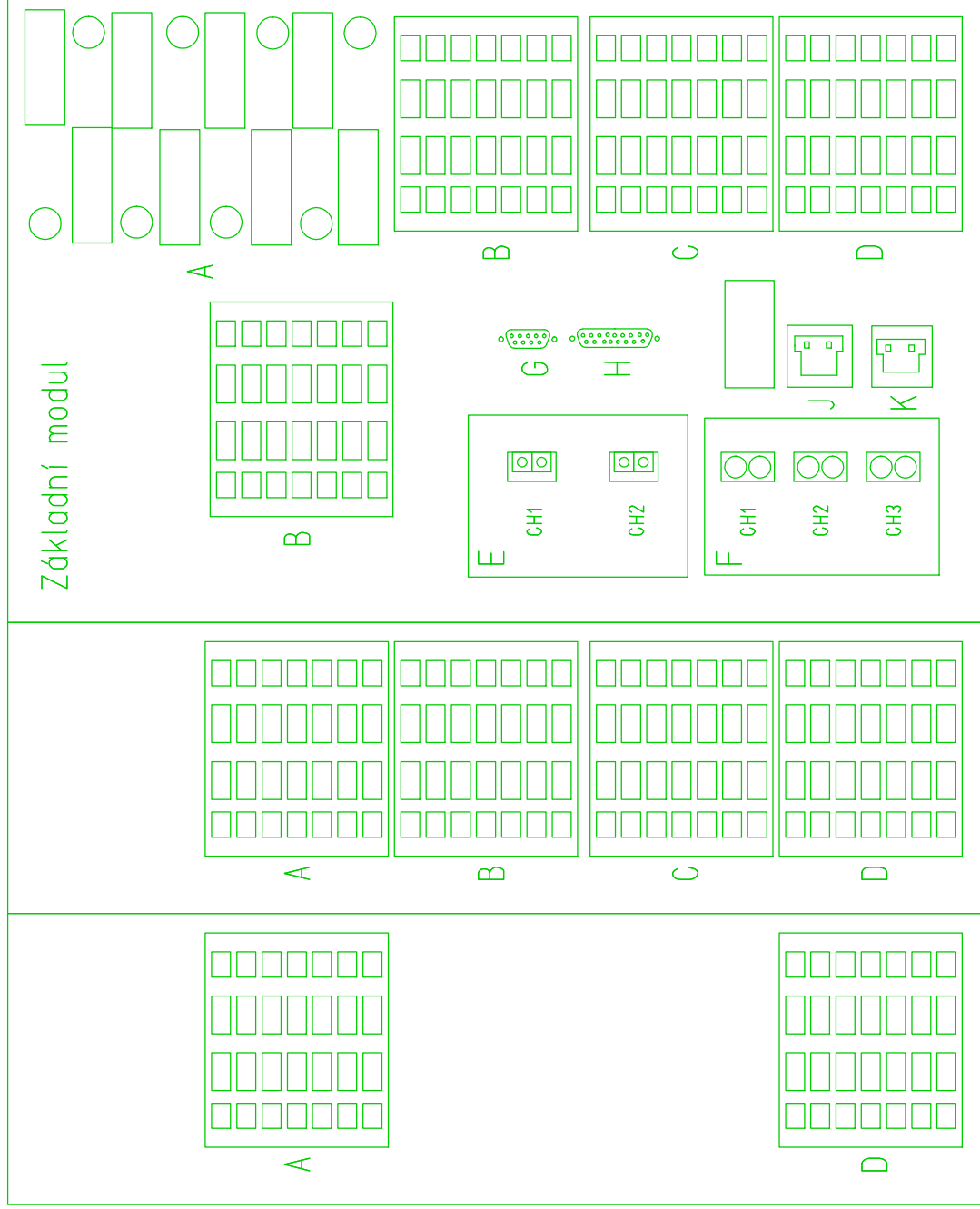
by:stacy:

by:stacy:



ΕΛΛΗΝΙΚΗ ΔΗΜΟΚΡΑΤΙΑ

CE1  
Z\_F11-01  
=AJA20&EFS  
BK-R110-R22-DPS-20210731

[illegible]





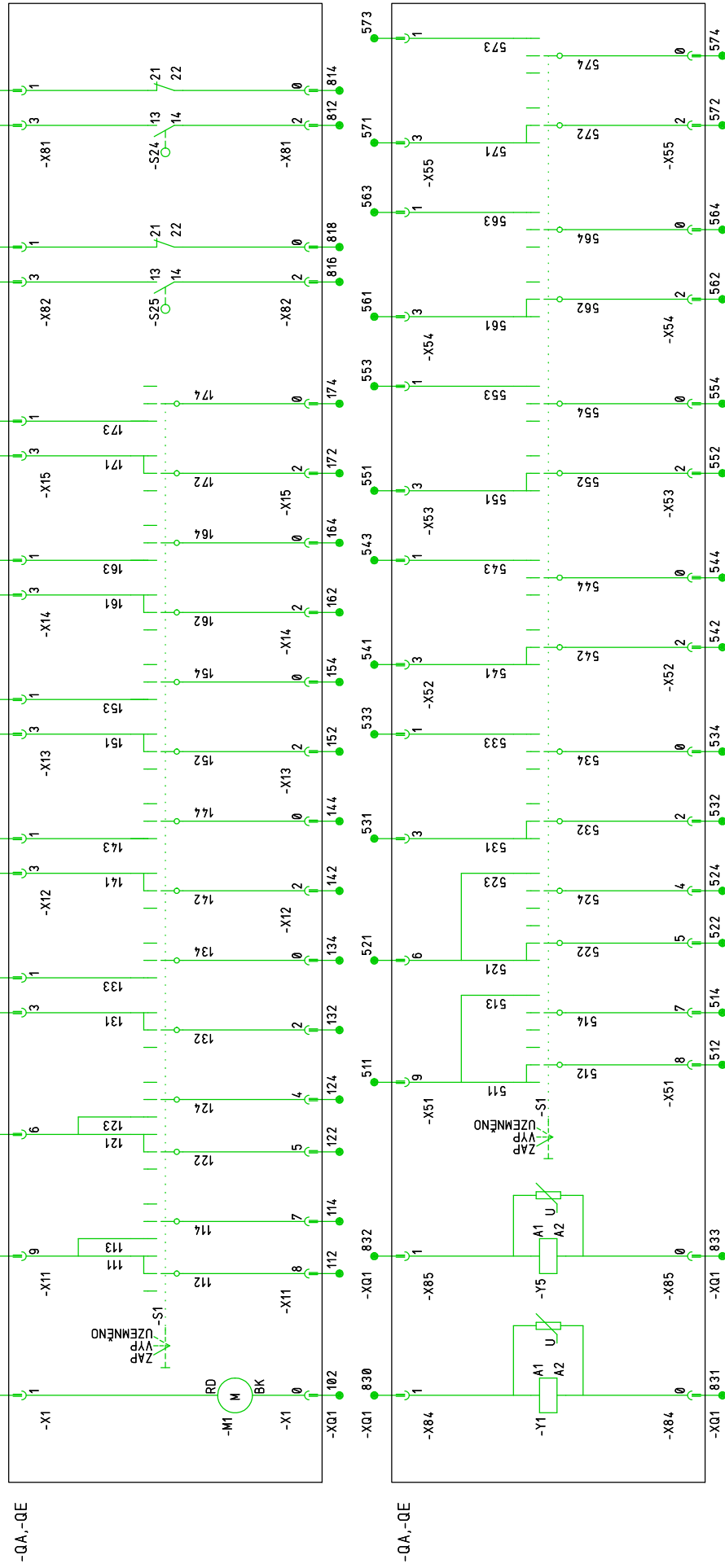
## SCHÉMA ZAPOJENÍ IO205

[illegible][illegible]

=AJA20	+ASJ20	&EFS	Z_F11_04
STATUS: DPS			
List: 23			
Číslo výkresu: BK=AJA20+ASJ20&EFS/Z_F11_04			Čekem: 69







72001.1	-X1	/MA02.3	0
-QA		/MA02.3	1

OVAČE

6	71040/
8	71040/
7	71040/
9	
5	
7	
3	
2	
1	
0	

-QA	3
-X12	2
/Z001.1	1
	0

-QA	3
-X13	2
/Z301.1	1
	0

-QA	3
-X14	2
/2301.1	1
	0

-QA	3
-X15	2
/2001.1	1
	0

3	-QA
2	-X81
1	/73011
0	

-QA	/RA01.3	0
-X82	/RA01.3	1
/Z001.1	/MA02.4	2
	/MA02.4	3

## UČIOVAČE

0	
1	
2	
3	
4	
5	
6	
7	/QA015
8	/QA015
9	/QA015

-QA	3
-X52	2
/Z0011	1
	0

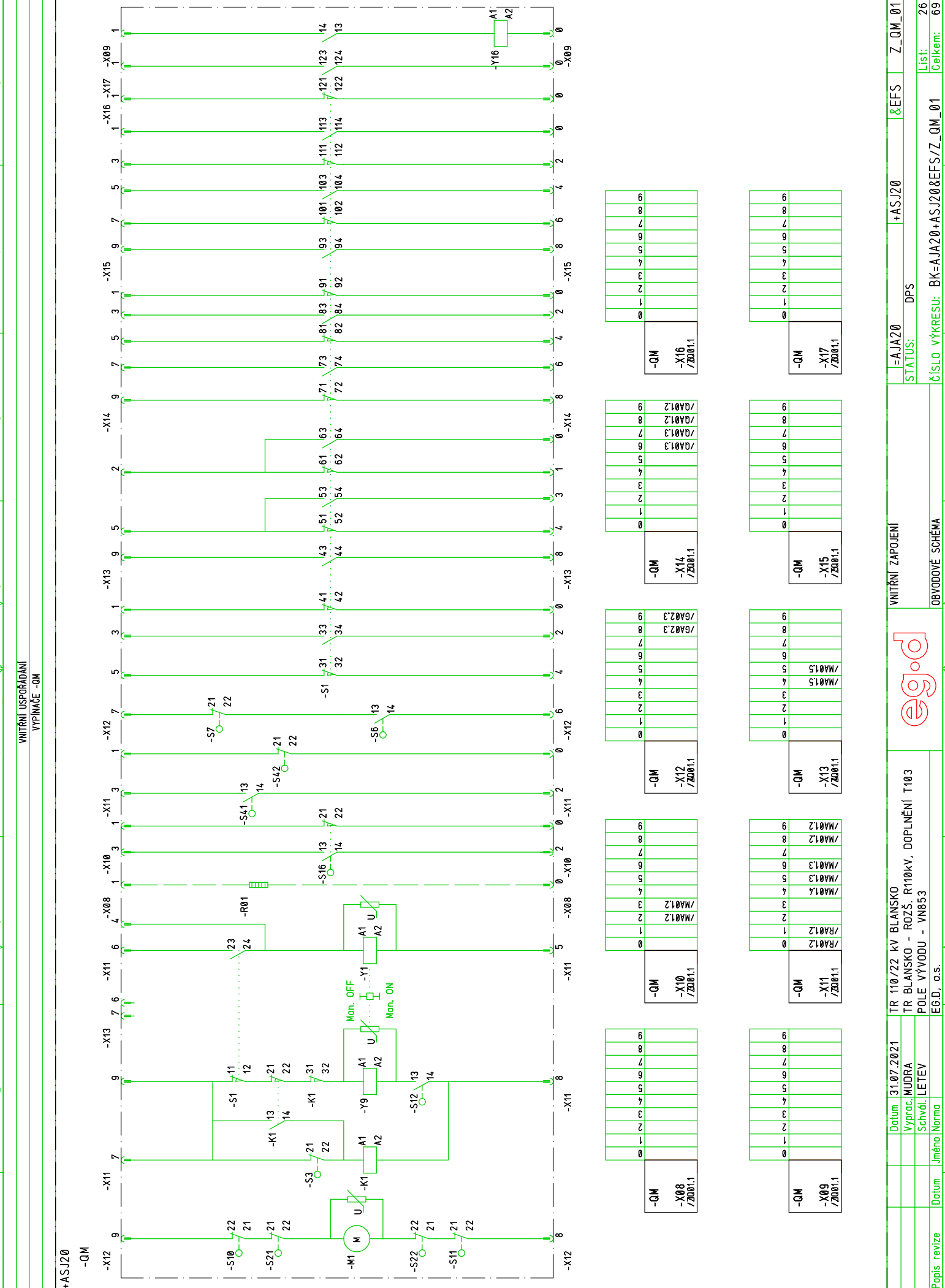
-QA	3
-X53	2
/20011	1
	0

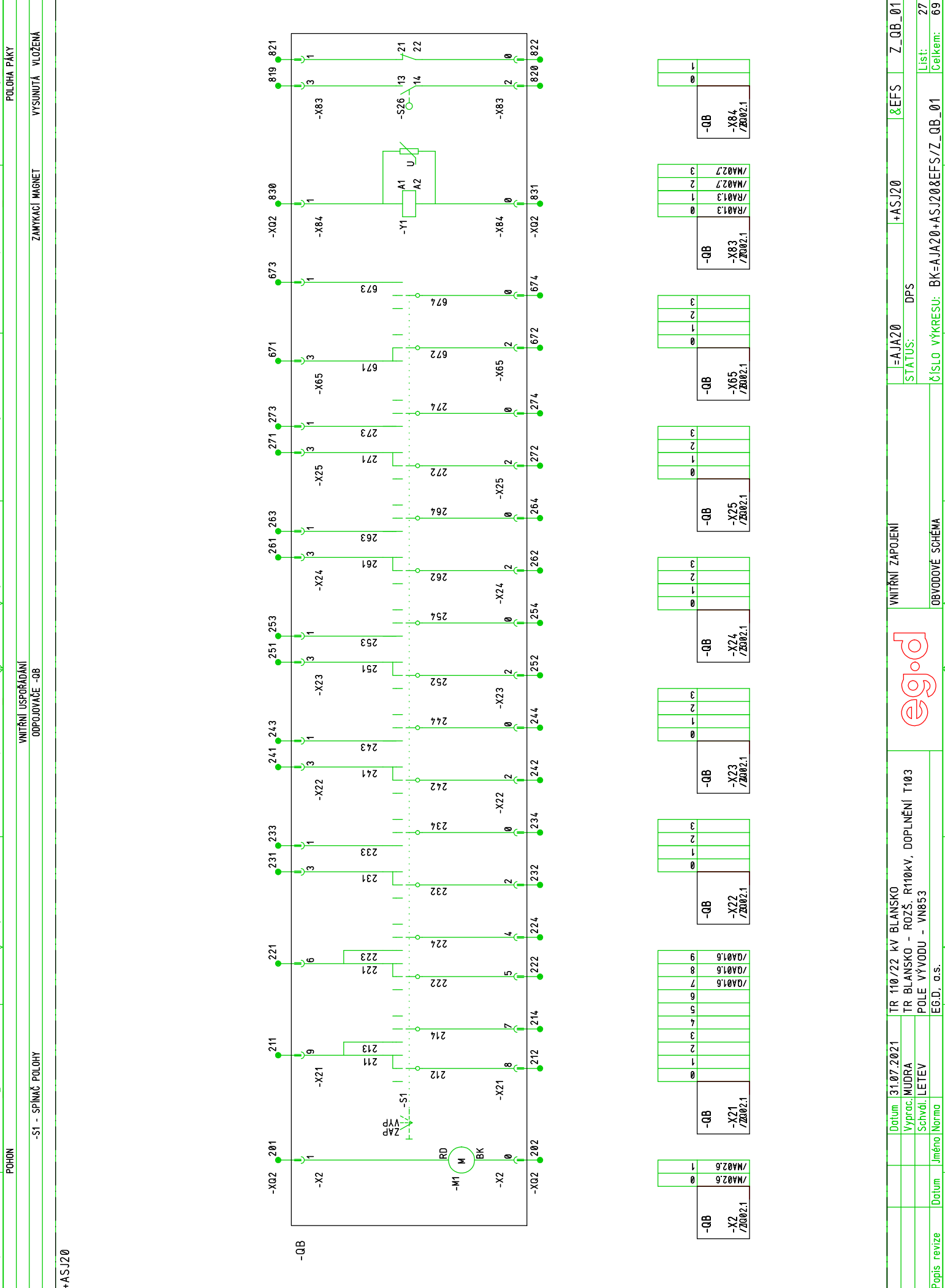
-QA	3
-X54	2
/20011	1
	0

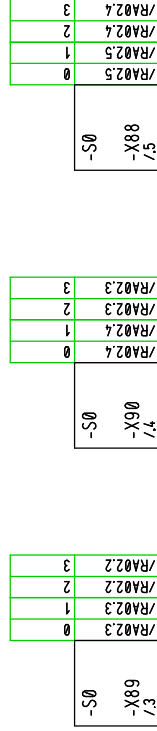
-QA	3
-X55	2
/80011	1
	0

1	
0	

-QA	1
-X85	0
-70011	







0	/RA02.5
1	/RA02.5
2	/RA02.4
3	/RA02.4

3	/RA02.3
2	/RA02.3
1	/RA02.4
0	/RA02.4

0	/RA02.5
1	/RA02.5
2	/RA02.4
3	/RA02.4

[illegible]





05.08.2021		BK-R110-ZH01		R22-DPS-20210731		EVU modul 4.9		OMEXOM		Číslo revize: 505020100501		Číslo výtisku: 10200202620	
05.08.2021		BK-R110-ZH01		R22-DPS-20210731		EVU modul 4.9		OMEXOM		Číslo výtisku: 10200202620		Číslo výtisku: 10200202620	
05.08.2021		BK-R110-ZH01		R22-DPS-20210731		EVU modul 4.9		OMEXOM		Číslo výtisku: 10200202620		Číslo výtisku: 10200202620	
05.08.2021		BK-R110-ZH01		R22-DPS-20210731		EVU modul 4.9		OMEXOM		Číslo výtisku: 10200202620		Číslo výtisku: 10200202620	
05.08.2021		BK-R110-ZH01		R22-DPS-20210731		EVU modul 4.9		OMEXOM		Číslo výtisku: 10200202620		Číslo výtisku: 10200202620	
05.08.2021		BK-R110-ZH01		R22-DPS-20210731		EVU modul 4.9		OMEXOM		Číslo výtisku: 10200202620		Číslo výtisku: 10200202620	
05.08.2021		BK-R110-ZH01		R22-DPS-20210731		EVU modul 4.9		OMEXOM		Číslo výtisku: 10200202620		Číslo výtisku: 10200202620	
05.08.2021		BK-R110-ZH01		R22-DPS-20210731		EVU modul 4.9		OMEXOM		Číslo výtisku: 10200202620		Číslo výtisku: 10200202620	
05.08.2021		BK-R110-ZH01		R22-DPS-20210731		EVU modul 4.9		OMEXOM		Číslo výtisku: 10200202620		Číslo výtisku: 10200202620	
05.08.2021		BK-R110-ZH01		R22-DPS-20210731		EVU modul 4.9		OMEXOM		Číslo výtisku: 10200202620		Číslo výtisku: 10200202620	
05.08.2021		BK-R110-ZH01		R22-DPS-20210731		EVU modul 4.9		OMEXOM		Číslo výtisku: 10200202620		Číslo výtisku: 10200202620	
05.08.2021		BK-R110-ZH01		R22-DPS-20210731		EVU modul 4.9		OMEXOM		Číslo výtisku: 10200202620		Číslo výtisku: 10200202620	
05.08.2021		BK-R110-ZH01		R22-DPS-20210731		EVU modul 4.9		OMEXOM		Číslo výtisku: 10200202620		Číslo výtisku: 10200202620	
05.08.2021		BK-R110-ZH01		R22-DPS-20210731		EVU modul 4.9		OMEXOM		Číslo výtisku: 10200202620		Číslo výtisku: 10200202620	
05.08.2021		BK-R110-ZH01		R22-DPS-20210731		EVU modul 4.9		OMEXOM		Číslo výtisku: 10200202620		Číslo výtisku: 10200202620	
05.08.2021		BK-R110-ZH01		R22-DPS-20210731		EVU modul 4.9		OMEXOM		Číslo výtisku: 10200202620		Číslo výtisku: 10200202620	
05.08.2021		BK-R110-ZH01		R22-DPS-20210731		EVU modul 4.9		OMEXOM		Číslo výtisku: 10200202620		Číslo výtisku: 10200202620	
05.08.2021		BK-R110-ZH01		R22-DPS-20210731		EVU modul 4.9		OMEXOM		Číslo výtisku: 10200202620		Číslo výtisku: 10200202620	
05.08.2021		BK-R110-ZH01		R22-DPS-20210731		EVU modul 4.9		OMEXOM		Číslo výtisku: 10200202620		Číslo výtisku: 10200202620	
05.08.2021		BK-R110-ZH01		R22-DPS-20210731		EVU modul 4.9		OMEXOM		Číslo výtisku: 10200202620		Číslo výtisku: 10200202620	
05.08.2021		BK-R110-ZH01		R22-DPS-20210731		EVU modul 4.9		OMEXOM		Číslo výtisku: 10200202620		Číslo výtisku: 10200202620	
05.08.2021		BK-R110-ZH01		R22-DPS-20210731		EVU modul 4.9		OMEXOM		Číslo výtisku: 10200202620		Číslo výtisku: 10200202620	
05.08.2021		BK-R110-ZH01		R22-DPS-20210731		EVU modul 4.9		OMEXOM		Číslo výtisku: 10200202620		Číslo výtisku: 10200202620	
05.08.2021		BK-R110-ZH01		R22-DPS-20210731		EVU modul 4.9		OMEXOM		Číslo výtisku: 10200202620		Číslo výtisku: 10200202620	
05.08.2021		BK-R110-ZH01		R22-DPS-20210731		EVU modul 4.9		OMEXOM		Číslo výtisku: 10200202620		Číslo výtisku: 10200202620	
05.08.2021		BK-R110-ZH01		R22-DPS-20210731		EVU modul 4.9		OMEXOM		Číslo výtisku: 10200202620		Číslo výtisku: 10200202620	
05.08.2021		BK-R110-ZH01		R22-DPS-20210731		EVU modul 4.9		OMEXOM		Číslo výtisku: 10200202620		Číslo výtisku: 10200202620	
05.08.2021		BK-R110-ZH01		R22-DPS-20210731		EVU modul 4.9		OMEXOM		Číslo výtisku: 10200202620		Číslo výtisku: 10200202620	
05.08.2021		BK-R110-ZH01		R22-DPS-20210731		EVU modul 4.9		OMEXOM		Číslo výtisku: 10200202620		Číslo výtisku: 10200202620	
05.08.2021		BK-R110-ZH01		R22-DPS-20210731		EVU modul 4.9		OMEXOM		Číslo výtisku: 10200202620		Číslo výtisku: 10200202620	
05.08.2021		BK-R110-ZH01		R22-DPS-20210731		EVU modul 4.9		OMEXOM		Číslo výtisku: 10200202620		Číslo výtisku: 10200202620	
05.08.2021		BK-R110-ZH01		R22-DPS-20210731		EVU modul 4.9		OMEXOM		Číslo výtisku: 10200202620		Číslo výtisku: 10200202620	
05.08.2021		BK-R110-ZH01		R22-DPS-20210731		EVU modul 4.9		OMEXOM		Číslo výtisku: 10200202620		Číslo výtisku: 10200202620	
05.08.2021		BK-R110-ZH01		R22-DPS-20210731		EVU modul 4.9		OMEXOM		Číslo výtisku: 10200202620		Číslo výtisku: 10200202620	
05.08.2021		BK-R110-ZH01		R22-DPS-20210731		EVU modul 4.9		OMEXOM		Číslo výtisku: 10200202620		Číslo výtisku: 10200202620	
05.08.2021		BK-R110-ZH01		R22-DPS-20210731		EVU modul 4.9		OMEXOM		Číslo výtisku: 10200202620		Číslo výtisku: 10200202620	
05.08.2021		BK-R110-ZH01		R22-DPS-20210731		EVU modul 4.9		OMEXOM		Číslo výtisku: 10200202620		Číslo výtisku: 10200202620	
05.08.2021		BK-R110-ZH01		R22-DPS-20210731		EVU modul 4.9		OMEXOM		Číslo výtisku: 10200202620		Číslo výtisku: 10200202620	
05.08.2021		BK-R110-ZH01		R22-DPS-20210731		EVU modul 4.9		OMEXOM		Číslo výtisku: 10200202620		Číslo výtisku: 10200202620	
05.08.2021		BK-R110-ZH01		R22-DPS-20210731		EVU modul 4.9		OMEXOM		Číslo výtisku: 10200202620		Číslo výtisku: 10200202620	
05.08.2021		BK-R110-ZH01		R22-DPS-20210731		EVU modul 4.9		OMEXOM		Číslo výtisku: 10200202620		Číslo výtisku: 10200202620	
05.08.2021		BK-R110-ZH01		R22-DPS-20210731		EVU modul 4.9		OMEXOM		Číslo výtisku: 10200202620		Číslo výtisku: 10200202620	
05.08.2021		BK-R110-ZH01		R22-DPS-20210731		EVU modul 4.9		OMEXOM		Číslo výtisku: 10200202620		Číslo výtisku: 10200202620	
05.08.2021		BK-R110-ZH01		R22-DPS-20210731		EVU modul 4.9		OMEXOM		Číslo výtisku: 10200202620		Číslo výtisku: 10200202620	
05.08.2021		BK-R110-ZH01		R22-DPS-20210731		EVU modul 4.9		OMEXOM		Číslo výtisku: 10200202620		Číslo výtisku: 10200202620	
05.08.2021		BK-R110-ZH01		R22-DPS-20210731		EVU modul 4.9		OMEXOM		Číslo výtisku: 10200202620		Číslo výtisku: 10200202620	
05.08.2021		BK-R110-ZH01		R22-DPS-20210731		EVU modul 4.9		OMEXOM		Číslo výtisku: 10200202620		Číslo výtisku: 10200202620	
05.08.2021		BK-R110-ZH01		R22-DPS-20210731		EVU modul 4.9		OMEXOM		Číslo výtisku: 10200202620		Číslo výtisku: 10200202620	
05.08.2021		BK-R110-ZH01		R22-DPS-20210731		EVU modul 4.9		OMEXOM		Číslo výtisku: 10200202620		Číslo výtisku: 10200202620	
05.08.2021		BK-R110-ZH01		R22-DPS-20210731		EVU modul 4.9		OMEXOM		Číslo výtisku: 10200202620		Číslo výtisku: 10200202620	
05.08.2021		BK-R110-ZH01		R22-DPS-20210731		EVU modul 4.9		OMEXOM		Číslo výtisku: 10200202620		Číslo výtisku: 10200202620	
05.08.2021		BK-R110-ZH01		R22-DPS-20210731		EVU modul 4.9		OMEXOM		Číslo výtisku: 10200202620		Číslo výtisku: 10200202620	
05.08.2021		BK-R110-ZH01		R22-DPS-20210731		EVU modul 4.9		OMEXOM		Číslo výtisku: 10200202620		Číslo výtisku: 10200202620	
05.08.2021		BK-R110-ZH01		R22-DPS-20210731		EVU modul 4.9		OMEXOM		Číslo výtisku: 10200202620		Číslo výtisku: 10200202620	
05.08.2021		BK-R110-ZH01		R22-DPS-20210731		EVU modul 4.9		OMEXOM		Číslo výtisku: 10200202620		Číslo výtisku: 10200202620	
05.08.2021		BK-R110-ZH01		R22-DPS-20210731		EVU modul 4.9		OMEXOM		Číslo výtisku: 10200202620		Číslo výtisku: 10200202620	
05.08.2021		BK-R110-ZH01		R22-DPS-20210731		EVU modul 4.9		OMEXOM		Číslo výtisku: 10200202620		Číslo výtisku: 10200202620	
05.08.2021		BK-R110-ZH01		R22-DPS-20210731		EVU modul 4.9		OMEXOM		Číslo výtisku: 10200202620		Číslo výtisku: 10200202620	
05.08.2021		BK-R110-ZH01		R22-DPS-20210731		EVU modul 4.9		OMEXOM		Číslo výtisku: 10200202620		Číslo výtisku: 10200202620	
05.08.2021		BK-R110-ZH01		R22-DPS-20210731		EVU modul 4.9		OMEXOM		Číslo výtisku: 10200202620		Číslo výtisku: 10200202620	
05.08.2021		BK-R110-ZH01		R22-DPS-20210731		EVU modul 4.9		OMEXOM		Číslo výtisku: 10200202620		Číslo výtisku: 10200202620	
05.08.2021		BK-R110-ZH01		R22-DPS-20210731		EVU modul 4.9		OMEXOM		Číslo výtisku: 10200202620		Číslo výtisku: 10200202620	
05.08.2021		BK-R110-ZH01		R22-DPS-20210731		EVU modul 4.9		OMEXOM		Číslo výtisku: 10200202620		Číslo výtisku: 10200202620	
05.08.2021		BK-R110-ZH01		R22-DPS-20210731		EVU modul 4.9		OMEXOM		Číslo výtisku: 10200202620		Číslo výtisku: 10200202620	
05.08.2021		BK-R110-ZH01		R22-DPS-20210731		EVU modul 4.9		OMEXOM		Číslo výtisku: 10200202620		Číslo výtisku: 10200202620	
05.08.2021		BK-R110-ZH01		R22-DPS-20210731		EVU modul 4.9		OMEXOM		Číslo výtisku: 10200202620		Číslo výtisku: 10200202620	
05.08.2021		BK-R110-ZH01		R22-DPS-20210731		EVU modul 4.9		OMEXOM		Číslo výtisku: 10200202620		Číslo výtisku: 10200202620	
05.08.2021		BK-R110-ZH01		R22-DPS-20210731		EVU modul 4.9		OMEXOM		Číslo výtisku: 10200202620		Číslo výtisku: 10200202620	
05.08.2021		BK-R110-ZH01		R22-DPS-20210731		EVU modul 4.9		OMEXOM		Číslo výtisku: 10200202620		Číslo výtisku: 10200202620	
05.08.2021		BK-R110-ZH01		R22-DPS-20210731		EVU modul 4.9		OMEXOM		Číslo výtisku: 10200202620		Číslo výtisku: 10200202620	
05.08.2021		BK-R110-ZH01		R22-DPS-20210731		EVU modul 4.9		OMEXOM		Číslo výtisku: 10200202620		Číslo výtisku: 10200202620	
05.08.2021		BK-R110-ZH01		R22-DPS-20210731		EVU modul 4.9		OMEXOM		Číslo výtisku: 10200202620		Číslo výtisku: 10200202620	
05.08.2021		BK-R110-ZH01		R22-DPS-20210731		EVU modul 4.9		OMEXOM		Číslo výtisku: 10200202620		Číslo výtisku: 10200202620	
05.08.2021		BK-R110-ZH01		R22-DPS-20210731		EVU modul 4.9		OMEXOM		Číslo výtisku: 10200202620		Číslo výtisku: 10200202620	
05.08.2021		BK-R110-ZH01		R22-DPS-20210731		EVU modul 4.9		OMEXOM		Číslo výtisku: 10200202620		Číslo výtisku: 10200202620	
05.08.2021		BK-R110-ZH01		R22-DPS-20210731		EVU modul 4.9		OMEXOM		Číslo výtisku: 10200202620		Číslo výtisku: 10200202620	
05.08.2021		BK-R110-ZH01		R22-DPS-20210731		EVU modul 4.9		OMEXOM		Číslo výtisku: 10200202620		Číslo výtisku: 10200202620	
05.08.2021		BK-R110-ZH01		R22-DPS-20210731		EVU modul 4.9		OMEXOM		Číslo výtisku: 10200202620		Číslo výtisku: 10200202620	
05.08.2021		BK-R110-ZH01		R22-DPS-20210731		EVU modul 4.9		OMEXOM		Číslo výtisku: 10200202620		Číslo výtisku: 10200202620	
05.08.2021		BK-R110-ZH01		R22-DPS-20210731		EVU modul 4.9		OMEXOM		Číslo výtisku: 10200202620		Číslo výtisku: 10200202620	
05.08.2021		BK-R110-ZH01		R22-DPS-20210731		EVU modul 4.9		OMEXOM		Číslo výtisku: 10200202620		Číslo výtisku: 10200202620	
05.08.2021		BK-R110-ZH01		R22-DPS-20210731		EVU modul 4.9		OMEXOM		Číslo výtisku: 10200202620		Číslo výtisku: 10200202620	
05.08.2021		BK-R110-ZH01		R22-DPS-20210731		EVU modul 4.9		OMEXOM		Číslo výtisku: 10200202620		Číslo výtisku: 10200202620	
05.08.2021		BK-R110-ZH01		R22-DPS-20210731		EVU modul 4.9		OMEXOM		Číslo výtisku: 10200202620		Číslo výtisku: 10200202620	
05.08.2021		BK-R110-ZH01		R22-DPS-20210731		EVU modul 4.9		OMEXOM		Číslo výtisku: 10200202620		Číslo výtisku: 10200202620	
05.08.2021		BK-R110-ZH01		R22-DPS-20210731		EVU modul 4.9		OMEXOM		Číslo výtisku: 10200202620		Číslo výtisku: 10200202620	
05.08.2021		BK-R110-ZH01		R22-DPS-20210731		EVU modul 4.9		OMEXOM		Číslo výtisku: 10200202620		Číslo výtisku: 10200202620	
05.08.2021		BK-R110-ZH01		R22-DPS-20210731		EVU modul 4.9		OMEXOM		Číslo výtisku: 10200202620			

1		2		3		4		5		6		7		8	
1		POMOCNÉ RELÉ		VÝROBCE: SCHRACK OBJ.ČÍSLO : MT326110		TYP : MT(110V AC)									
10A															
POMOCNÉ NAPĚTÍ : 110V AC		KONTAKTY : 3P													
TECHNICKÉ KOMPONENTY		TYP		OBJ.ČÍSLO :											
PATICE 11KOLÍKOVÁ, SPONA		MULTIMOD SPONA		MR78740 MR28800											
ZPŮSOB POUŽITÍ		NASTAVENÍ		UMÍSTĚNÍ		OZNAČENÍ PRVKU									
BRZDA POHONŮ						-KX01									
3		POMOCNÉ RELÉ		VÝROBCE: SCHRACK OBJ.ČÍSLO : MT321110		TYP : MT321110									
10A															
POMOCNÉ NAPĚTÍ : 110V DC		KONTAKTY : 3W													
TECHNICKÉ KOMPONENTY		TYP		OBJ.ČÍSLO :											
PATICE A DIODA OCHRANMÁDUL SPONA K MT		MT78740_MTM100A0 MR28800		MT78740_MTM100A0 MR28800											
ZPŮSOB POUŽITÍ		NASTAVENÍ		UMÍSTĚNÍ		OZNAČENÍ PRVKU									
ZTRÁTA TLAKU SF6		PŘÍPOJNICE VA				-K711A									
TRÁTA TLAKU SF6		PŘÍPOJNICE WB				-K711B									
TRÁTA TLAKU SF6		PŘÍPOJNICE VA				-K711M									
2		POMOCNÉ RELÉ		VÝROBCE: SIEMENS OBJ.ČÍSLO: 3RH2122-1BF40		TYP : 3RH2122-1BF40									
10A															
POMOCNÉ NAPĚTÍ : 110V DC		KONTAKTY : 2S20													
TECHNICKÉ KOMPONENTY		TYP		OBJ.ČÍSLO :											
ZPŮSOB POUŽITÍ		NASTAVENÍ		UMÍSTĚNÍ		OZNAČENÍ PRVKU									
TVORBA NAPĚTÍ ±101						-K1.01									
TVORBA NAPĚTÍ ±101F						-K1.01F									





[illegible]





[illegible]

[illegible]

[illegible]

[illegible]



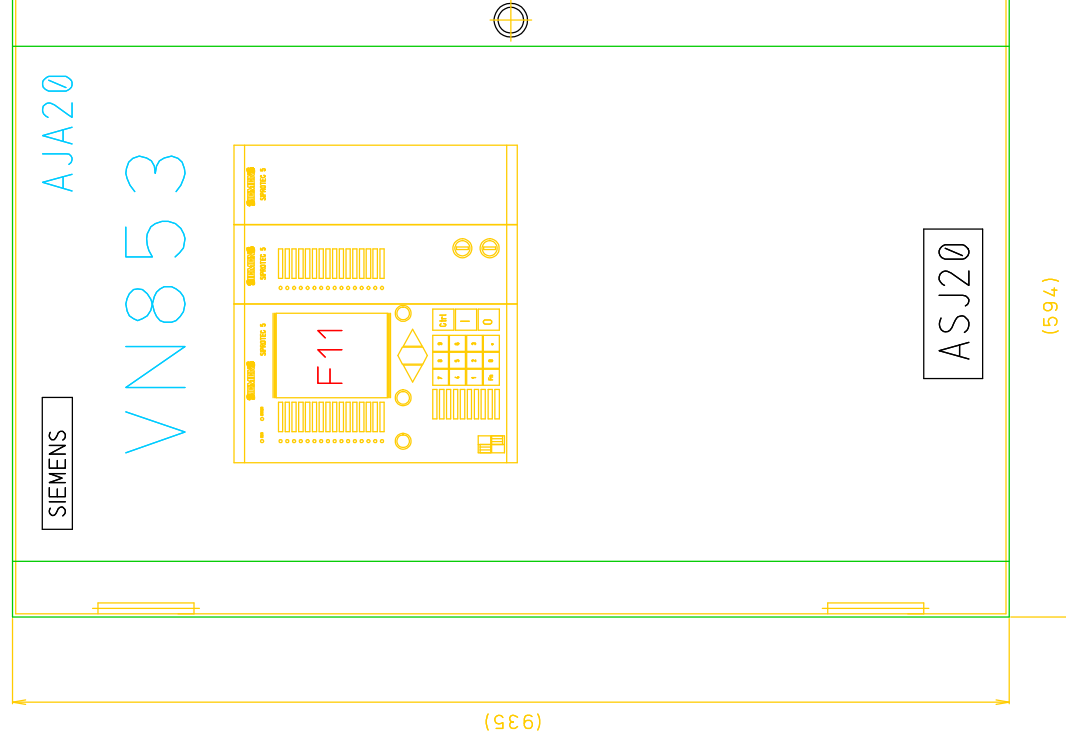
1		2		3		4	5		6	7	8
REFERENČNÍ PRVKU		DRUH PŘÍSTROJE		POČ. KUSŮ		VÝROBCE	TYP PŘÍSTROJE		T.SPEC.1	TECHNICKÁ DATA	OBJEDNACÍ ČÍSLO
+ -		KOMPONENTY							T.SPEC.2		
A	=AJA20 +ASJ20 -R1	ODPOR		1		NEDEFINOVÁN			12kOhm 2W		
B	=AJA20 +TA -L1/a										
C	=AJA20 +TA -L2/a										
D	=AJA20 +ASJ20 -FA1.01F	TRANSF. PROUDU		3		NEDEFINOVÁN			150/300//1/140.5/5P20 5VA/5VA		
E	=AJA20 +ASJ20 -FA1.13										
F	=AJA20 +ASJ20 -FA1.11F										
G	=AJA20 +ASJ20 -FA1.11F										
H	=AJA20 +ASJ20 -FA1.12F										
I	=AJA20 +ASJ20 -FA1.13F										
J	=AJA20 +ASJ20 -FA1.14F										
K	=AJA20 +ASJ20 -FA1.15F										
L	=AJA20 +ASJ20 -FA1.16F										
M	=AJA20 +ASJ20 -FA1.17F										
N	=AJA20 +ASJ20 -FA1.18F										
O	=AJA20 +ASJ20 -FA1.19F										
P	=AJA20 +ASJ20 -FA1.20F										
Q	=AJA20 +ASJ20 -FA1.21F										
R	=AJA20 +ASJ20 -FA1.22F										
S	=AJA20 +ASJ20 -FA1.23F										
T	=AJA20 +ASJ20 -FA1.24F										
U	=AJA20 +ASJ20 -FA1.25F										
V	=AJA20 +ASJ20 -FA1.26F										
W	=AJA20 +ASJ20 -FA1.27F										
X	=AJA20 +ASJ20 -FA1.28F										
Y	=AJA20 +ASJ20 -FA1.29F										
Z	=AJA20 +ASJ20 -FA1.30F										
AA	=AJA20 +ASJ20 -FA1.31F										

05.08.2021 BK-R110-R22-DPS-20210731 CG1208EPB =AJA208EPB														EVU modul 4.9 OMEXOM Č.výkr.zhot.: 505020100501 Č.stavby: 1020002020																																																																																																																																																																																																																																																																																																																																																																																																																																																																																																																																																																																																																																																																																																																																																																																																																																																																																																																																																																																																																																																																																																																																																																																																																																																																																																																																																																																																																																																																																																																																																																																																																																																																																																																																																																																																																																																																																																																																																																																																																																																																																																																																																																																																																																																																																																																																																																																																																																																																																																																																																																																																																																																																																																																																																																																																																																																																																																																																																																																																																																																																																																																																																																																																																																																																																																																																																																																																																																																																																																																																																																																																																																																																																																																																																																																																																																																																																																																																																																																																																																																																																																																																																																																																																																																																																																																																																																																																																																																																																																																																																																																																																																																																																																																																																																																																																																																																																																																																																																																																																																																																																																																																																																																																																																																																																																																																																																																																																																																																																																																																																																																																																																																																																																																																																																																																																																																																																																																																																																																																																																																																																																																																																																																																																																																																																																																																																																																																																																																																																																																																																																																																																																																																																																																																																																																																																																																																																																																																																																			
REFERENČNÍ PRVKU														VÝROBCE														TYP PŘÍSTROJE														T.SPEC.1 T.SPEC.2														TECHNICKÁ DATA														OBJEDNACÍ ČÍSLO																																																																																																																																																																																																																																																																																																																																																																																																																																																																																																																																																																																																																																																																																																																																																																																																																																																																																																																																																																																																																																																																																																																																																																																																																																																																																																																																																																																																																																																																																																																																																																																																																																																																																																																																																																																																																																																																																																																																																																																																																																																																																																																																																																																																																																																																																																																																																																																																																																																																																																																																																																																																																																																																																																																																																																																																																																																																																																																																																																																																																																																																																																																																																																																																																																																																																																																																																																																																																																																																																																																																																																																																																																																																																																																																																																																																																																																																																																																																																																																																																																																																																																																																																																																																																																																																																																																																																																																																																																																																																																																																																																																																																																																																																																																																																																																																																																																																																																																																																																																																																																																																																																																																																																																																																																																																																																																																																																																																																																																																																																																																																																																																																																																																																																																																																																																																																																																																																																																																																																																																																																																																																																																																																																																																																																																																																																																																																																																																																																																																																																																																																																																																																																																																																																																																																																																																																																																																																																											
+ - -1																																																																																																																																																																																																																																																																																																																																																																																																																																																																																																																																																																																																																																																																																																																																																																																																																																																																																																																																																																																																																																																																																																																																																																																																																																																																																																																																																																																																																																																																																																																																																																																																																																																																																																																																																																																																																																																																																																																																																																																																																																																																																																																																																																																																																																																																																																																																																																																																																																																																																																																																																																																																																																																																																																																																																																																																																																																																																																																																																																																																																																																																																																																																																																																																																																																																																																																																																																																																																																																																																																																																																																																																																																																																																																																																																																																																																																																																																																																																																																																																																																																																																																																																																																																																																																																																																																																																																																																																																																																																																																																																																																																																																																																																																																																																																																																																																																																																																																																																																																																																																																																																																																																																																																																																																																																																																																																																																																																																																																																																																																																																																																																																																																																																																																																																																																																																																																																																																																																																																																																																																																																																																																																																																																																																																																																																																																																																																																																																																																																																																																																																																																																																																																																																																																																																																																																																																																																																																																																																																																																	
=AJA20 +ASJ20 -KX01														POMOCNÉ RELÉ														1														SCHRACK														MT(110V AC)														110V AC 3P														10A														MULTIFUNKČNÍ RELÉ														MT326110																																																																																																																																																																																																																																																																																																																																																																																																																																																																																																																																																																																																																																																																																																																																																																																																																																																																																																																																																																																																																																																																																																																																																																																																																																																																																																																																																																																																																																																																																																																																																																																																																																																																																																																																																																																																																																																																																																																																																																																																																																																																																																																																																																																																																																																																																																																																																																																																																																																																																																																																																																																																																																																																																																																																																																																																																																																																																																																																																																																																																																																																																																																																																																																																																																																																																																																																																																																																																																																																																																																																																																																																																																																																																																																																																																																																																																																																																																																																																																																																																																																																																																																																																																																																																																																																																																																																																																																																																																																																																																																																																																																																																																																																																																																																																																																																																																																																																																																																																																																																																																																																																																																																																																																																																																																																																																																																																																																																																																																																																																																																																																																																																																																																																																																																																																																																																																																																																																																																																																																																																																																																																																																																																																																																																																																																																																																																																																																																																																																																																																																																																																																																																																																																																																																																																																																																																																																																	
														PATICE 1KOLIKOVÁ,														1														SCHRACK																																																																																				MR78740																																																																																																																																																																																																																																																																																																																																																																																																																																																																																																																																																																																																																																																																																																																																																																																																																																																																																																																																																																																																																																																																																																																																																																																																																																																																																																																																																																																																																																																																																																																																																																																																																																																																																																																																																																																																																																																																																																																																																																																																																																																																																																																																																																																																																																																																																																																																																																																																																																																																																																																																																																																																																																																																																																																																																																																																																																																																																																																																																																																																																																																																																																																																																																																																																																																																																																																																																																																																																																																																																																																																																																																																																																																																																																																																																																																																																																																																																																																																																																																																																																																																																																																																																																																																																																																																																																																																																																																																																																																																																																																																																																																																																																																																																																																																																																																																																																																																																																																																																																																																																																																																																																																																																																																																																																																																																																																																																																																																																																																																																																																																																																																																																																																																																																																																																																																																																																																																																																																																																																																																																																																																																																																																																																																																																																																																																																																																																																																																																																																																																																																																																																																																																																																																																																																																																																																																																																																			
														SPONA														1														SCHRACK																																																																																																		MR28800																																																																																																																																																																																																																																																																																																																																																																																																																																																																																																																																																																																																																																																																																																																																																																																																																																																																																																																																																																																																																																																																																																																																																																																																																																																																																																																																																																																																																																																																																																																																																																																																																																																																																																																																																																																																																																																																																																																																																																																																																																																																																																																																																																																																																																																																																																																																																																																																																																																																																																																																																																																																																																																																																																																																																																																																																																																																																																																																																																																																																																																																																																																																																																																																																																																																																																																																																																																																																																																																																																																																																																																																																																																																																																																																																																																																																																																																																																																																																																																																																																																																																																																																																																																																																																																																																																																																																																																																																																																																																																																																																																																																																																																																																																																																																																																																																																																																																																																																																																																																																																																																																																																																																																																																																																																																																																																																																																																																																																																																																																																																																																																																																																																																																																																																																																																																																																																																																																																																																																																																																																																																																																																																																																																																																																																																																																																																																																																																																																																																																																																																																																																																																																																																																																																																																																																																																																					

05.08.2021										BK-R110-R22-DPS-20210731										EGD										SEZNAM PRVKŮ										=AJA20 STATUS: DPS										+ASJ20										&EPB										GL03																																																																																																																																																																																																																																																																																																																																																																																																																																																																																																																																																																																																																																																																																																																																																																																																																																																																																																																																																																																																																																																																																																																																																																																																																																																																																																																																																																																																																																																																																																																																																																																																																																																																																																																																																																																																																																																																																																																																																																																																																																																																																																																																																																																																																																																																																																																																																																																																																																																																																																																																																																																																																																																																																																																																																																																																																																																																																																																																																																																																																																																																																																																																																																																																																																																																																																																																																																																																																																																																																																																																																																																																																																																																																																																																																																																																																																																																																																																																																																																																																																																																																																																																																																																																																																																																																																																																																																																																																																																							
Indirekce										Popis revize										Datum										Jméno										Norma										Schvál.										LETEV										Vyrobc.										MUDRA										31.07.2021										Datum										TR 110/22 kV BLANSKO										T103										DOPLNĚNÍ										POLE VÝVODU - VN853										EGD, o.s.										VN853										Rozs.										R110kV										Rozs.										R110kV										Rozs.										R110kV										Rozs.										R110kV										Rozs.										R110kV										Rozs.										R110kV										Rozs.										R110kV										Rozs.										R110kV										Rozs.										R110kV										Rozs.										R110kV										Rozs.										R110kV										Rozs.										R110kV										Rozs.										R110kV										Rozs.										R110kV										Rozs.										R110kV										Rozs.										R110kV										Rozs.										R110kV										Rozs.										R110kV										Rozs.										R110kV										Rozs.										R110kV										Rozs.										R110kV										Rozs.										R110kV										Rozs.										R110kV										Rozs.										R110kV										Rozs.										R110kV										Rozs.										R110kV										Rozs.										R110kV										Rozs.										R110kV										Rozs.										R110kV										Rozs.										R110kV										Rozs.										R110kV										Rozs.										R110kV										Rozs.										R110kV										Rozs.										R110kV										Rozs.										R110kV										Rozs.										R110kV										Rozs.										R110kV										Rozs.										R110kV										Rozs.										R110kV										Rozs.										R110kV										Rozs.										R110kV										Rozs.										R110kV										Rozs.										R110kV										Rozs.										R110kV										Rozs.										R110kV										Rozs.										R110kV										Rozs.										R110kV										Rozs.										R110kV										Rozs.										R110kV										Rozs.										R110kV										Rozs.										R110kV										Rozs.										R110kV										Rozs.										R110kV										Rozs.										R110kV										Rozs.										R110kV										Rozs.										R110kV										Rozs.										R110kV										Rozs.										R110kV										Rozs.										R110kV										Rozs.										R110kV										Rozs.										R110kV										Rozs.										R110kV										Rozs.										R110kV										Rozs.										R110kV										Rozs.										R110kV										Rozs.										R110kV										Rozs.										R110kV										Rozs.										R110kV										Rozs.										R110kV										Rozs.										R110kV										Rozs.										R110kV										Rozs.										R110kV										Rozs.										R110kV										Rozs.										R110kV										Rozs.										R110kV										Rozs.										R110kV										Rozs.										R110kV										Rozs.										R110kV										Rozs.										R110kV										Rozs.										R110kV										Rozs.										R110kV										Rozs.										R110kV										Rozs.										R110kV										Rozs.										R110kV										Rozs.										R110kV										Rozs.										R110kV										Rozs.										R110kV										Rozs.										R110kV										Rozs.										R110kV										Rozs.										R110kV										Rozs.										R110kV										Rozs.										R110kV										Rozs.										R110kV										Rozs.										R110kV										Rozs.										R110kV										Rozs.										R110kV										Rozs.										R110kV										Rozs.										R110kV										Rozs.										R110kV										Rozs.										R110kV										Rozs.										R110kV										Rozs.										R110kV										Rozs.										R110kV										Rozs.										R110kV										Rozs.										R110kV										Rozs.										R110kV										Rozs.										R110kV										Rozs.										R110kV										Rozs.										R110kV										Rozs.										R110kV										Rozs.										R110kV										Rozs.										R110kV										Rozs.										R110kV										Rozs.										R110kV										Rozs.										R110kV										Rozs.										R110kV										Rozs.										R110kV										Rozs.										R110kV										Rozs.										R110kV										Rozs.										R110kV										Rozs.										R110kV										Rozs.										R110kV										Rozs.										R110kV										Rozs.										R110kV										Rozs.										R110kV										Rozs.										R110kV										Rozs.										R110kV										Rozs.										R110kV										Rozs.										R110kV										Rozs.										R110kV										Rozs.										R110kV										Rozs.										R110kV										Rozs.										R110kV										Rozs.										R110kV										Rozs.										R110kV										Rozs.										R110kV										Rozs.										R110kV										Rozs.										R110kV										Rozs.										R110kV										Rozs.										R110kV										Rozs.										R110kV										Rozs.										R110kV										Rozs.										R110kV										Rozs.										R110kV										Rozs.										R110kV										Rozs.										R110kV										Rozs.										R110kV										Rozs.										R110kV										Rozs.										R110kV										Rozs.										R110kV										Rozs.										R110kV										Rozs.										R110kV										Rozs.										R110kV										Rozs.										R110kV										Rozs.										R110kV										Rozs.										R110kV										Rozs.										R110kV										Rozs.										R110kV										Rozs.										R110kV										Rozs.										R110kV										Rozs.										R110kV										Rozs.										R110kV										Rozs.										R110kV										Rozs.										R110kV										Rozs.										R110kV										Rozs.										R110kV										Rozs.										R110kV										Rozs.										R110kV										Rozs.										R110kV										Rozs.										R110kV										Rozs.										R110kV										Rozs.										R110kV										Rozs.										R110kV										Rozs.										R110kV										Rozs.										R110kV										Rozs.										R110kV										Rozs.										R110kV										Rozs.										R110kV										Rozs.										R110kV										Rozs.										R110kV										Rozs.										R110kV										Rozs.										R110kV										Rozs.										R110kV										Rozs.										R110kV										Rozs.										R110kV										Rozs.										R110kV										Rozs.										R110kV										Rozs.										R110kV										Rozs.										R110kV										Rozs.										R110kV										Rozs.										R110kV										Rozs.										R110kV										Rozs.										R110kV										Rozs.										R110kV										Rozs.										R110kV										Rozs.										R110kV										Rozs.										R110kV										Rozs.										R110kV										Rozs.										R110kV										Rozs.										R110kV										Rozs.										R110kV										Rozs.										R110kV										Rozs.										R110kV										Rozs.										R110kV										Rozs.										R110kV										Rozs.										R110kV										Rozs.										R110kV										Rozs.										R110kV										Rozs.										R110kV									

NXPlus - DVEŘE + PANEL

AJA20 - VÝVOD VN853

[illegible]

[illegible]

1															2			3			4			5			6			7			8																																						
Č. KABEL															OBSAZ ŽIL: VÝKRAŠPOJ			TYP KABELU:			ŽÍLA			POKRAČUJE SCH. ZAPOJENÍ			MATERIÁL VODIČŮ			Ø BARVA			TYP SVORKY:																																						
1 - WSSJ2001															2			2			CYKFY-0 2x1,5mm,5mm			2			H07V-K 1,5mm2			SW			STANDARD:			1-4 UT4-MT-P/P																																			
<div>Číslo výrobku: 05020100501</div> <div>Číslo zakázky: 1020002620</div> <div>Číslo stavby: 1020002620</div> <div>OMEXOM</div> <div>EVU modul 4.9</div> <div>05.08.2021 BK R110-R22 DPS-20210731</div> <div>AJA20+ASJ20&amp;EMA</div> <div>K20</div> <div>CE1</div>															ZPĚTNÝ ODKAZ			Č.												ŽÍLY/ LTG			OZNAČENÍ CÍLE			POTENCIÁL			Č.			OZNAČENÍ CÍLE			ŽÍLY/ LTG			POZNÁMKA																							
															/RA018			1												1			=AXA00 +AXY02 -XN113			43			+1.13y			1			-F11			B10																							
															/RA018																								+1.13y			2																													
															/RA018			2												2			=AXA00 +AXY02 -XYH			82			H111F/20			3			-F11			B7																							
															/XA01.1																								4																																
Indirevize															Popis revize			Datum			Jméno			Norma			Schválí			Výprací			Datum			31.07.2021			TR 110/22 kV BLANSKO			TR BLANSKO - R07Š, R110kV, DOPLNĚNÍ T103			EGD, a.s.			EGD, a.s.			POLE VÝVODU - VN853			TR BLANSKO - R07Š, R110kV, DOPLNĚNÍ T103			SESTAVA SVORKOVNICE +ASJ20-XH			=AJA20			+ASJ20			&EMA			K20		
Indirevize															Popis revize			Datum			Jméno			Norma			Schválí			Výprací			Datum			31.07.2021			TR 110/22 kV BLANSKO			TR BLANSKO - R07Š, R110kV, DOPLNĚNÍ T103			EGD, a.s.			EGD, a.s.			POLE VÝVODU - VN853			TR BLANSKO - R07Š, R110kV, DOPLNĚNÍ T103			SESTAVA SVORKOVNICE +ASJ20-XH			=AJA20			+ASJ20			&EMA			K20		
Indirevize															Popis revize			Datum			Jméno			Norma			Schválí			Výprací			Datum			31.07.2021			TR 110/22 kV BLANSKO			TR BLANSKO - R07Š, R110kV, DOPLNĚNÍ T103			EGD, a.s.			EGD, a.s.			POLE VÝVODU - VN853			TR BLANSKO - R07Š, R110kV, DOPLNĚNÍ T103			SESTAVA SVORKOVNICE +ASJ20-XH			=AJA20			+ASJ20			&EMA			K20		
Indirevize															Popis revize			Datum			Jméno			Norma			Schválí			Výprací			Datum			31.07.2021			TR 110/22 kV BLANSKO			TR BLANSKO - R07Š, R110kV, DOPLNĚNÍ T103			EGD, a.s.			EGD, a.s.			POLE VÝVODU - VN853			TR BLANSKO - R07Š, R110kV, DOPLNĚNÍ T103			SESTAVA SVORKOVNICE +ASJ20-XH			=AJA20			+ASJ20			&EMA			K20		
Indirevize															Popis revize			Datum			Jméno			Norma			Schválí			Výprací			Datum			31.07.2021			TR 110/22 kV BLANSKO			TR BLANSKO - R07Š, R110kV, DOPLNĚNÍ T103			EGD, a.s.			EGD, a.s.			POLE VÝVODU - VN853			TR BLANSKO - R07Š, R110kV, DOPLNĚNÍ T103			SESTAVA SVORKOVNICE +ASJ20-XH			=AJA20			+ASJ20			&EMA			K20		
Indirevize															Popis revize			Datum			Jméno			Norma			Schválí			Výprací			Datum			31.07.2021			TR 110/22 kV BLANSKO			TR BLANSKO - R07Š, R110kV, DOPLNĚNÍ T103			EGD, a.s.			EGD, a.s.			POLE VÝVODU - VN853			TR BLANSKO - R07Š, R110kV, DOPLNĚNÍ T103			SESTAVA SVORKOVNICE +ASJ20-XH			=AJA20			+ASJ20			&EMA			K20		
Indirevize															Popis revize			Datum			Jméno			Norma			Schválí			Výprací			Datum			31.07.2021			TR 110/22 kV BLANSKO			TR BLANSKO - R07Š, R110kV, DOPLNĚNÍ T103			EGD, a.s.			EGD, a.s.			POLE VÝVODU - VN853			TR BLANSKO - R07Š, R110kV, DOPLNĚNÍ T103			SESTAVA SVORKOVNICE +ASJ20-XH			=AJA20			+ASJ20			&EMA			K20		
Indirevize															Popis revize			Datum			Jméno			Norma			Schválí			Výprací			Datum			31.07.2021			TR 110/22 kV BLANSKO			TR BLANSKO - R07Š, R110kV, DOPLNĚNÍ T103			EGD, a.s.			EGD, a.s.			POLE VÝVODU - VN853			TR BLANSKO - R07Š, R110kV, DOPLNĚNÍ T103			SESTAVA SVORKOVNICE +ASJ20-XH			=AJA20			+ASJ20			&EMA			K20		
Indirevize															Popis revize			Datum			Jméno			Norma			Schválí			Výprací			Datum			31.07.2021			TR 110/22 kV BLANSKO			TR BLANSKO - R07Š, R110kV, DOPLNĚNÍ T103			EGD, a.s.			EGD, a.s.			POLE VÝVODU - VN853			TR BLANSKO - R07Š, R110kV, DOPLNĚNÍ T103			SESTAVA SVORKOVNICE +ASJ20-XH			=AJA20			+ASJ20			&EMA			K20		
Indirevize															Popis revize			Datum			Jméno			Norma			Schválí			Výprací			Datum			31.07.2021			TR 110/22 kV BLANSKO			TR BLANSKO - R07Š, R110kV, DOPLNĚNÍ T103			EGD, a.s.			EGD, a.s.			POLE VÝVODU - VN853			TR BLANSKO - R0																	

[illegible]

[illegible]



1	2		3		4		5		6		7		8		
Č. KABEL	OBSAZ ŽIL: VÝKRAŠPOL		TYP KABELU:		ŽÍLA		POKRAČUJE SCH. ZAPOJENÍ		MATERIÁL VODIČŮ		Ø BARVA		TYP SVORKY:		
-XN13															
ZPĚTNÝ ODKAZ	Č. ŽÍLY/ LTG												OZNAČENÍ CÍLE	ŽÍLY/ LTG	POZNÁMKA
/GA02.3	1	2	3	4	5	6	7	8	9	10	11	12	-FA1.31	3	
/GA02.6													-FA1.32	3	
/GA02.3													-FA1.31	1	
/GA02.6													-FA1.32	1	

Č. výkř.zhot.: 505020100501

Čísloby: 1020002620

OMEXOM

EVU modul 4.9

05.08.2021

BK R110-R22-DPS-20210731

ASJ20&EMA

K50

CE1

Indirevize

Popis revize

Datum

Jméno

Norma

Schválí

LETEV

Vyprací

MUDRA

Datum

31.07.2021

TR 110/22 kV BLANSKO

TR BLANSKO - R07Š, R110kV, DOPLNĚNÍ T103

POLE VÝVODU - VN853

EGD, a.s.

eg-d

SESTAVA SVORKOVNICE +ASJ20-XN13

-AJA20

DPS

+ASJ20

&EMA

K50

Číslo

VÝKRESU: BK-AJA20+ASJ20&EMA/K50

Číslo

TABULKA

STATUS:

LIST:

49

CELKEM:

69

[illegible]

[illegible]



1										2										3										4										5										6										7										8																																																																																																																																																																																																																																																																																																																																																																																																																																																																																																																																																																																																																																																																																																																																																																																																																																																																																																																																																																																																																																																																																																																																																																																																																																																																																																																																																																																																																																																																																																																																																																																																																																																																																																																																																																																																																																																																																																																																																																																																																																																																																																																																																																																																																																																																																																																																																																																																																																																																																																																																																																																																																																																																																																																																																																																																																																																																																																																																																																																																																																																																																																																																																																																																																																																																																																																																																																																																																																																																																																																																																																																																																																																																																																																																																																																																																																																																																																																																																																																																																																																																																																																																																																																																																																																																																																																																																																																																																																																																																																																																																																																																																																																																																																																																																																																																																																																																																																																																																																																																																																																																																																																																																																																																																																																																																																																																																																																																																																																																																																																																																																																																																																																																																																																																																																																																																																																													
Č. KABEL										OBSAZ ŽIL: VÝKRAŠPOL										TYP KABELU:										ŽÍLA										POKRAČUJE SCH. ZAPOJENÍ										MATERIÁL VODIČŮ										Ø BARVA										TYP SVORKY:																																																																																																																																																																																																																																																																																																																																																																																																																																																																																																																																																																																																																																																																																																																																																																																																																																																																																																																																																																																																																																																																																																																																																																																																																																																																																																																																																																																																																																																																																																																																																																																																																																																																																																																																																																																																																																																																																																																																																																																																																																																																																																																																																																																																																																																																																																																																																																																																																																																																																																																																																																																																																																																																																																																																																																																																																																																																																																																																																																																																																																																																																																																																																																																																																																																																																																																																																																																																																																																																																																																																																																																																																																																																																																																																																																																																																																																																																																																																																																																																																																																																																																																																																																																																																																																																																																																																																																																																																																																																																																																																																																																																																																																																																																																																																																																																																																																																																																																																																																																																																																																																																																																																																																																																																																																																																																																																																																																																																																																																																																																																																																																																																																																																																																																																																																																																																																																													

[illegible]

[illegible]

[illegible]



Číslo revize: 05.08.2021															BK_R110_R22_DPS_20210731															EVU modul 4.9															OMEXOM															Číslo revize: 1020002620																													
Číslo revize: 1020002620															Číslo revize: 505020100501															Číslo revize: 505020100501															Číslo revize: 505020100501															Číslo revize: 505020100501															Číslo revize: 505020100501														
Číslo revize: 1020002620															Číslo revize: 505020100501															Číslo revize: 505020100501															Číslo revize: 505020100501															Číslo revize: 505020100501															Číslo revize: 505020100501														
Číslo revize: 1020002620															Číslo revize: 505020100501															Číslo revize: 505020100501															Číslo revize: 505020100501															Číslo revize: 505020100501															Číslo revize: 505020100501														
Číslo revize: 1020002620															Číslo revize: 505020100501															Číslo revize: 505020100501															Číslo revize: 505020100501															Číslo revize: 505020100501															Číslo revize: 505020100501														
Číslo revize: 1020002620															Číslo revize: 505020100501															Číslo revize: 505020100501															Číslo revize: 505020100501															Číslo revize: 505020100501															Číslo revize: 505020100501														
Číslo revize: 1020002620															Číslo revize: 505020100501															Číslo revize: 505020100501															Číslo revize: 505020100501															Číslo revize: 505020100501															Číslo revize: 505020100501														
Číslo revize: 1020002620															Číslo revize: 505020100501															Číslo revize: 505020100501															Číslo revize: 505020100501															Číslo revize: 505020100501															Číslo revize: 505020100501														
Číslo revize: 1020002620															Číslo revize: 505020100501															Číslo revize: 505020100501															Číslo revize: 505020100501															Číslo revize: 505020100501															Číslo revize: 505020100501														
Číslo revize: 1020002620															Číslo revize: 505020100501															Číslo revize: 505020100501															Číslo revize: 505020100501															Číslo revize: 505020100501															Číslo revize: 505020100501														
Číslo revize: 1020002620															Číslo revize: 505020100501															Číslo revize: 505020100501															Číslo revize: 505020100501															Číslo revize: 505020100501															Číslo revize: 505020100501														
Číslo revize: 1020002620															Číslo revize: 505020100501															Číslo revize: 505020100501															Číslo revize: 505020100501															Číslo revize: 505020100501															Číslo revize: 505020100501														
Číslo revize: 1020002620															Číslo revize: 505020100501															Číslo revize: 505020100501															Číslo revize: 505020100501															Číslo revize: 505020100501															Číslo revize: 505020100501														
Číslo revize: 1020002620															Číslo revize: 505020100501															Číslo revize: 505020100501															Číslo revize: 505020100501															Číslo revize: 505020100501															Číslo revize: 505020100501														
Číslo revize: 1020002620															Číslo revize: 505020100501															Číslo revize: 505020100501															Číslo revize: 505020100501															Číslo revize: 505020100501															Číslo revize: 505020100501														
Číslo revize: 1020002620															Číslo revize: 505020100501															Číslo revize: 505020100501															Číslo revize: 505020100501															Číslo revize: 505020100501															Číslo revize: 505020100501														
Číslo revize: 1020002620															Číslo revize: 505020100501															Číslo revize: 505020100501															Číslo revize: 505020100501															Číslo revize: 505020100501															Číslo revize: 505020100501														
Číslo revize: 1020002620															Číslo revize: 505020100501															Číslo revize: 505020100501															Číslo revize: 505020100501															Číslo revize: 505020100501															Číslo revize: 505020100501														
Číslo revize: 1020002620															Číslo revize: 505020100501															Číslo revize: 505020100501															Číslo revize: 505020100501															Číslo revize: 505020100501															Číslo revize: 505020100501														
Číslo revize: 1020002620															Číslo revize: 505020100501															Číslo revize: 505020100501															Číslo revize: 505020100501															Číslo revize: 505020100501															Číslo revize: 505020100501														
Číslo revize: 1020002620															Číslo revize: 505020100501															Číslo revize: 505020100501															Číslo revize: 505020100501															Číslo revize: 505020100501															Číslo revize: 505020100501														
Číslo revize: 1020002620															Číslo revize: 505020100501															Číslo revize: 505020100501															Číslo revize: 505020100501															Číslo revize: 505020100501															Číslo revize: 505020100501														
Číslo revize: 1020002620															Číslo revize: 505020100501															Číslo revize: 505020100501															Číslo revize: 505020100501															Číslo revize: 505020100501															Číslo revize: 505020100501														
Číslo revize: 1020002620															Číslo revize: 505020100501															Číslo revize: 505020100501															Číslo revize: 505020100501															Číslo revize: 505020100501															Číslo revize: 505020100501														
Číslo revize: 1020002620															Číslo revize: 505020100501															Číslo revize: 505020100501															Číslo revize: 505020100501															Číslo revize: 505020100501															Číslo revize: 505020100501														
Číslo revize: 1020002620															Číslo revize: 505020100501															Číslo revize: 505020100501															Číslo revize: 505020100501															Číslo revize: 505020100501															Číslo revize: 505020100501														
Číslo revize: 1020002620															Číslo revize: 505020100501															Číslo revize: 505020100501															Číslo revize: 505020100501															Číslo revize: 505020100501															Číslo revize: 505020100501														
Číslo revize: 1020002620															Číslo revize: 505020100501															Číslo revize: 505020100501															Číslo revize: 505020100501															Číslo revize: 505020100501															Číslo revize: 505020100501														
Číslo revize: 1020002620															Číslo revize: 505020100501															Číslo revize: 505020100501															Číslo revize: 505020100501															Číslo revize: 505020100501															Číslo revize: 505020100501														
Číslo revize: 1020002620															Číslo revize: 505020100501															Číslo revize: 505020100501															Číslo revize: 505020100501															Číslo revize: 505020100501															Číslo revize: 505020100501														
Číslo revize: 1020002620															Číslo revize: 505020100501															Číslo revize: 505020100501															Číslo revize: 505020100501															Číslo revize: 505020100501															Číslo revize: 505020100501														
Číslo revize: 1020002620															Číslo revize: 505020100501															Číslo revize: 505020100501															Číslo revize: 505020100501															Číslo revize: 505020100501															Číslo revize: 505020100501														
Číslo revize: 1020002620															Číslo revize: 505020100501															Číslo revize: 505020100501															Číslo revize: 505020100501															Číslo revize: 505020100501															Číslo revize: 505020100501														
Číslo revize: 1020002620															Číslo revize: 505020100501															Číslo revize: 505020100501															Číslo revize: 505020100501															Číslo revize: 505020100501															Číslo revize: 505020100501														
Číslo revize: 1020002620															Číslo revize: 505020100501															Číslo revize: 505020100501															Číslo revize: 505020100501															Číslo revize: 505020100501															Číslo revize: 505020100501														
Číslo revize: 1020002620															Číslo revize: 505020100501															Číslo revize: 505020100501															Číslo revize: 505020100501															Číslo revize: 505020100501															Číslo revize: 505020100501														
Číslo revize: 1020002620															Číslo revize: 505020100501															Číslo revize: 505020100501															Číslo revize: 505020100501															Číslo revize: 505020100501															Číslo revize: 505020100501														
Číslo revize: 1020002620															Číslo revize: 505020100501															Číslo revize: 505020100501															Číslo revize: 505020100501															Číslo revize: 505020100501															Číslo revize: 505020100501														
Číslo revize: 1020002620															Číslo revize: 505020100501															Číslo revize: 505020100501															Číslo revize: 505020100501															Číslo revize: 505020100501															Číslo revize: 505020100501														
Číslo revize: 1020002620															Číslo revize: 505020100501															Číslo revize: 505020100501															Číslo revize: 505020100501															Číslo revize: 505020100501															Číslo revize: 505020100501														
Číslo revize: 1020002620															Číslo revize: 505020100501															Číslo revize: 505020100501															Číslo revize: 505020100501															Číslo revize: 505020100501															Číslo revize: 505020100501														
Číslo revize: 1020002620															Číslo revize: 505020100501															Číslo revize: 505020100501															Číslo revize: 505020100501															Číslo revize: 505020100501															Číslo revize: 505020100501														
Číslo revize: 1020002620															Číslo revize: 505020100501															Číslo revize: 505020100501															Číslo revize: 505020100501															Číslo revize: 505020100501															Číslo revize: 505020100501														
Číslo revize: 1020002620															Číslo revize: 505020100501															Číslo revize: 505020100501															Číslo revize: 505020100501															Číslo revize: 505020100501															Číslo revize: 505020100501														
Číslo revize: 1020002620															Číslo revize: 505020100501															Číslo revize: 505020100501															Číslo revize: 505020100501															Číslo revize: 505020100501															Číslo revize: 505020100501														
Číslo revize: 1020002620															Číslo revize: 505020100501															Číslo revize: 505020100501															Číslo revize: 505020100501															Číslo revize: 505020100501															Číslo revize: 505020100501														
Číslo revize: 1020002620															Číslo revize: 505020100501															Číslo revize: 505020100501															Číslo revize: 505020100501															Číslo revize: 505020100501															Číslo revize: 505020100501														
Číslo revize: 1020002620															Číslo revize: 505020100501															Číslo revize: 505020100501															Číslo revize: 505020100501															Číslo revize: 505020100501															Číslo revize: 505020100501														
Číslo revize: 1020002620															Číslo revize: 505020100501															Číslo revize: 505020100501															Číslo revize: 505020100501															Číslo revize: 505020100501															Číslo revize: 505020100501														
Číslo revize: 1020002620															Číslo revize: 505020100501															Číslo revize: 505020100501															Číslo revize: 505020100501															Číslo revize: 505020100501															Číslo revize: 505020100501														
Číslo revize: 1020002620															Číslo revize: 505020100501															Číslo revize: 505020100501															Číslo revize: 505020100501															Číslo revize: 505020100501															Číslo revize: 505020100501														
Číslo revize: 1020002620															Číslo revize: 505020100501															Číslo revize: 505020100501															Číslo revize: 505020100501															Číslo revize: 505020100501															Číslo revize: 505020100501														
Číslo revize: 1020002620															Číslo revize: 505020100501															Číslo revize: 505020100501															Číslo revize: 505020100501															Číslo revize: 505020100501															Číslo revize: 505020100501														
Číslo revize: 1020002620															Číslo revize: 505020100501															Číslo revize: 505020100501															Číslo revize: 505020100501															Číslo revize: 505020100501															Číslo revize: 505020100501														
Číslo revize: 1020002620															Číslo revize: 505020100501															Číslo revize: 505020100501															Číslo revize: 505020100501															Číslo revize: 505020100501															Číslo revize: 505020100501														
Číslo revize: 1020002620															Číslo revize: 505020100501															Číslo revize: 505020100501															Číslo revize: 505020100501															Číslo revize: 505020100501															Číslo revize: 505020100501														
Číslo revize: 1020002620															Číslo revize: 505020100501															Číslo revize: 505020100501															Číslo revize: 505020100501															Číslo revize: 505020100501															Číslo revize: 505020100501														
Číslo revize: 1020002620															Číslo revize: 505020100501															Číslo revize: 505020100501															Číslo revize: 505020100501															Číslo revize: 505020100501															Číslo revize: 505020100501														
Číslo revize: 1020002620															Číslo revize: 505020100501															Číslo revize: 505020100501															Číslo revize: 505020100501															Číslo revize: 505020100501															Číslo revize: 505020100501														
Číslo revize: 1020002620															Číslo revize: 505020100501															Číslo revize: 505020100501															Číslo revize: 505020100501															Číslo revize: 505020100501															Číslo revize: 505020100501														
Číslo revize: 1020002620															Číslo revize: 505020100501															Číslo revize: 505020100501															Číslo revize: 505020100501															Číslo revize: 505020100501															Číslo revize: 505020100501														
Číslo revize: 1020002620															Číslo revize: 505020100501															Číslo revize: 505020100501															Číslo revize: 505020100501															Číslo revize: 505020100501															Číslo revize: 505020100501														
Číslo revize: 1020002620															Číslo revize: 505020100501															Číslo revize: 505020100501															Číslo revize: 505020100501															Číslo revize: 505020100501															Číslo revize: 505020100501														
Číslo revize: 1020002620															Číslo revize: 505020100501															Číslo revize: 505020100501															Číslo revize: 505020100501															Číslo revize: 505020100501															Číslo revize: 505020100501														
Číslo revize: 1020002620															Číslo revize: 505020100501															Číslo revize: 505020100501															Číslo revize: 505020100501															Číslo revize: 505020100501															Číslo revize: 505020100501														
Číslo revize: 1020002620															Číslo revize: 505020100501															Číslo revize: 505020100501															Číslo revize: 505020100501															Číslo revize: 505020100501															Číslo revize: 505020100501														
Číslo revize: 1020002620															Číslo revize: 505020100501															Číslo revize: 505020100501															Číslo revize: 505020100501															Číslo revize: 505020100501															Číslo revize: 505020100501														
Číslo revize: 1020002620															Číslo revize: 505020100501															Číslo revize: 505020100501															Číslo revize: 505020100501															Číslo revize: 505020100501															Číslo revize: 505020100501														
Číslo revize: 1020002620															Číslo revize: 505020100501															Číslo revize: 505020100501															Číslo revize: 505020100501															Číslo revize: 505020100501															Číslo revize: 505020100501														
Číslo revize: 1020002620															Číslo revize: 505020100501															Číslo revize: 505020100501															Číslo revize: 505020100501															Číslo revize: 505020100501															Číslo revize: 505020100501														
Číslo revize: 1020002620															Číslo revize: 505020100501															Číslo revize: 505020100501															Číslo revize: 505020100501															Číslo revize: 505020100501															Číslo revize: 505020100501														
Číslo revize: 1020002620															Číslo revize: 505020100501															Číslo revize: 505020100501															Číslo revize: 505020100501															Číslo revize: 505020100501															Číslo revize: 505020100501														
Číslo revize: 1020002620															Číslo revize: 505020100501															Číslo revize: 505020100501															Číslo revize: 505020100501															Číslo revize: 505020100501															Číslo revize: 505020100501														
Číslo revize: 1020002620																																																																																									

Č. KABEL												OBSAZ.ŽIL: VÝKR. SPOL. TYP KABELU:												ŽÍLA												POKRAČUJE												SCH. ZAPOJENÍ											

Číslo revize: 05.08.2021															BK-R110-R22-DPS-20210731															EVU modul 4.9															OMEXOM															Číslo revize: 1020002620																													
Číslo revize: 1020002620															Číslo revize: 505020100501															Číslo revize: 505020100501															Číslo revize: 505020100501															Číslo revize: 505020100501															Číslo revize: 505020100501														
Číslo revize: 1020002620															Číslo revize: 505020100501															Číslo revize: 505020100501															Číslo revize: 505020100501															Číslo revize: 505020100501															Číslo revize: 505020100501														
Číslo revize: 1020002620															Číslo revize: 505020100501															Číslo revize: 505020100501															Číslo revize: 505020100501															Číslo revize: 505020100501															Číslo revize: 505020100501														
Číslo revize: 1020002620															Číslo revize: 505020100501															Číslo revize: 505020100501															Číslo revize: 505020100501															Číslo revize: 505020100501															Číslo revize: 505020100501														
Číslo revize: 1020002620															Číslo revize: 505020100501															Číslo revize: 505020100501															Číslo revize: 505020100501															Číslo revize: 505020100501															Číslo revize: 505020100501														
Číslo revize: 1020002620															Číslo revize: 505020100501															Číslo revize: 505020100501															Číslo revize: 505020100501															Číslo revize: 505020100501															Číslo revize: 505020100501														
Číslo revize: 1020002620															Číslo revize: 505020100501															Číslo revize: 505020100501															Číslo revize: 505020100501															Číslo revize: 505020100501															Číslo revize: 505020100501														
Číslo revize: 1020002620															Číslo revize: 505020100501															Číslo revize: 505020100501															Číslo revize: 505020100501															Číslo revize: 505020100501															Číslo revize: 505020100501														
Číslo revize: 1020002620															Číslo revize: 505020100501															Číslo revize: 505020100501															Číslo revize: 505020100501															Číslo revize: 505020100501															Číslo revize: 505020100501														
Číslo revize: 1020002620															Číslo revize: 505020100501															Číslo revize: 505020100501															Číslo revize: 505020100501															Číslo revize: 505020100501															Číslo revize: 505020100501														
Číslo revize: 1020002620															Číslo revize: 505020100501															Číslo revize: 505020100501															Číslo revize: 505020100501															Číslo revize: 505020100501															Číslo revize: 505020100501														
Číslo revize: 1020002620															Číslo revize: 505020100501															Číslo revize: 505020100501															Číslo revize: 505020100501															Číslo revize: 505020100501															Číslo revize: 505020100501														
Číslo revize: 1020002620															Číslo revize: 505020100501															Číslo revize: 505020100501															Číslo revize: 505020100501															Číslo revize: 505020100501															Číslo revize: 505020100501														
Číslo revize: 1020002620															Číslo revize: 505020100501															Číslo revize: 505020100501															Číslo revize: 505020100501															Číslo revize: 505020100501															Číslo revize: 505020100501														
Číslo revize: 1020002620															Číslo revize: 505020100501															Číslo revize: 505020100501															Číslo revize: 505020100501															Číslo revize: 505020100501															Číslo revize: 505020100501														
Číslo revize: 1020002620															Číslo revize: 505020100501															Číslo revize: 505020100501															Číslo revize: 505020100501															Číslo revize: 505020100501															Číslo revize: 505020100501														
Číslo revize: 1020002620															Číslo revize: 505020100501															Číslo revize: 505020100501															Číslo revize: 505020100501															Číslo revize: 505020100501															Číslo revize: 505020100501														
Číslo revize: 1020002620															Číslo revize: 505020100501															Číslo revize: 505020100501															Číslo revize: 505020100501															Číslo revize: 505020100501															Číslo revize: 505020100501														
Číslo revize: 1020002620															Číslo revize: 505020100501															Číslo revize: 505020100501															Číslo revize: 505020100501															Číslo revize: 505020100501															Číslo revize: 505020100501														
Číslo revize: 1020002620															Číslo revize: 505020100501															Číslo revize: 505020100501															Číslo revize: 505020100501															Číslo revize: 505020100501															Číslo revize: 505020100501														
Číslo revize: 1020002620															Číslo revize: 505020100501															Číslo revize: 505020100501															Číslo revize: 505020100501															Číslo revize: 505020100501															Číslo revize: 505020100501														
Číslo revize: 1020002620															Číslo revize: 505020100501															Číslo revize: 505020100501															Číslo revize: 505020100501															Číslo revize: 505020100501															Číslo revize: 505020100501														
Číslo revize: 1020002620															Číslo revize: 505020100501															Číslo revize: 505020100501															Číslo revize: 505020100501															Číslo revize: 505020100501															Číslo revize: 505020100501														
Číslo revize: 1020002620															Číslo revize: 505020100501															Číslo revize: 505020100501															Číslo revize: 505020100501															Číslo revize: 505020100501															Číslo revize: 505020100501														
Číslo revize: 1020002620															Číslo revize: 505020100501															Číslo revize: 505020100501															Číslo revize: 505020100501															Číslo revize: 505020100501															Číslo revize: 505020100501														
Číslo revize: 1020002620															Číslo revize: 505020100501															Číslo revize: 505020100501															Číslo revize: 505020100501															Číslo revize: 505020100501															Číslo revize: 505020100501														
Číslo revize: 1020002620															Číslo revize: 505020100501															Číslo revize: 505020100501															Číslo revize: 505020100501															Číslo revize: 505020100501															Číslo revize: 505020100501														
Číslo revize: 1020002620															Číslo revize: 505020100501															Číslo revize: 505020100501															Číslo revize: 505020100501															Číslo revize: 505020100501															Číslo revize: 505020100501														
Číslo revize: 1020002620															Číslo revize: 505020100501															Číslo revize: 505020100501															Číslo revize: 505020100501															Číslo revize: 505020100501															Číslo revize: 505020100501														
Číslo revize: 1020002620															Číslo revize: 505020100501															Číslo revize: 505020100501															Číslo revize: 505020100501															Číslo revize: 505020100501															Číslo revize: 505020100501														
Číslo revize: 1020002620															Číslo revize: 505020100501															Číslo revize: 505020100501															Číslo revize: 505020100501															Číslo revize: 505020100501															Číslo revize: 505020100501														
Číslo revize: 1020002620															Číslo revize: 505020100501															Číslo revize: 505020100501															Číslo revize: 505020100501															Číslo revize: 505020100501															Číslo revize: 505020100501														
Číslo revize: 1020002620															Číslo revize: 505020100501															Číslo revize: 505020100501															Číslo revize: 505020100501															Číslo revize: 505020100501															Číslo revize: 505020100501														
Číslo revize: 1020002620															Číslo revize: 505020100501															Číslo revize: 505020100501															Číslo revize: 505020100501															Číslo revize: 505020100501															Číslo revize: 505020100501														
Číslo revize: 1020002620															Číslo revize: 505020100501															Číslo revize: 505020100501															Číslo revize: 505020100501															Číslo revize: 505020100501															Číslo revize: 505020100501														
Číslo revize: 1020002620															Číslo revize: 505020100501															Číslo revize: 505020100501															Číslo revize: 505020100501															Číslo revize: 505020100501															Číslo revize: 505020100501														
Číslo revize: 1020002620															Číslo revize: 505020100501															Číslo revize: 505020100501															Číslo revize: 505020100501															Číslo revize: 505020100501															Číslo revize: 505020100501														
Číslo revize: 1020002620															Číslo revize: 505020100501															Číslo revize: 505020100501															Číslo revize: 505020100501															Číslo revize: 505020100501															Číslo revize: 505020100501														
Číslo revize: 1020002620															Číslo revize: 505020100501															Číslo revize: 505020100501															Číslo revize: 505020100501															Číslo revize: 505020100501															Číslo revize: 505020100501														
Číslo revize: 1020002620															Číslo revize: 505020100501															Číslo revize: 505020100501															Číslo revize: 505020100501															Číslo revize: 505020100501															Číslo revize: 505020100501														
Číslo revize: 1020002620															Číslo revize: 505020100501															Číslo revize: 505020100501															Číslo revize: 505020100501															Číslo revize: 505020100501															Číslo revize: 505020100501														
Číslo revize: 1020002620															Číslo revize: 505020100501															Číslo revize: 505020100501															Číslo revize: 505020100501															Číslo revize: 505020100501															Číslo revize: 505020100501														
Číslo revize: 1020002620															Číslo revize: 505020100501															Číslo revize: 505020100501															Číslo revize: 505020100501															Číslo revize: 505020100501															Číslo revize: 505020100501														
Číslo revize: 1020002620															Číslo revize: 505020100501															Číslo revize: 505020100501															Číslo revize: 505020100501															Číslo revize: 505020100501															Číslo revize: 505020100501														
Číslo revize: 1020002620															Číslo revize: 505020100501															Číslo revize: 505020100501															Číslo revize: 505020100501															Číslo revize: 505020100501															Číslo revize: 505020100501														
Číslo revize: 1020002620															Číslo revize: 505020100501															Číslo revize: 505020100501															Číslo revize: 505020100501															Číslo revize: 505020100501															Číslo revize: 505020100501														
Číslo revize: 1020002620															Číslo revize: 505020100501															Číslo revize: 505020100501															Číslo revize: 505020100501															Číslo revize: 505020100501															Číslo revize: 505020100501														
Číslo revize: 1020002620															Číslo revize: 505020100501															Číslo revize: 505020100501															Číslo revize: 505020100501															Číslo revize: 505020100501															Číslo revize: 505020100501														
Číslo revize: 1020002620															Číslo revize: 505020100501															Číslo revize: 505020100501															Číslo revize: 505020100501															Číslo revize: 505020100501															Číslo revize: 505020100501														
Číslo revize: 1020002620															Číslo revize: 505020100501															Číslo revize: 505020100501															Číslo revize: 505020100501															Číslo revize: 505020100501															Číslo revize: 505020100501														
Číslo revize: 1020002620															Číslo revize: 505020100501															Číslo revize: 505020100501															Číslo revize: 505020100501															Číslo revize: 505020100501															Číslo revize: 505020100501														
Číslo revize: 1020002620															Číslo revize: 505020100501															Číslo revize: 505020100501															Číslo revize: 505020100501															Číslo revize: 505020100501															Číslo revize: 505020100501														
Číslo revize: 1020002620															Číslo revize: 505020100501															Číslo revize: 505020100501															Číslo revize: 505020100501															Číslo revize: 505020100501															Číslo revize: 505020100501														
Číslo revize: 1020002620															Číslo revize: 505020100501															Číslo revize: 505020100501															Číslo revize: 505020100501															Číslo revize: 505020100501															Číslo revize: 505020100501														
Číslo revize: 1020002620															Číslo revize: 505020100501															Číslo revize: 505020100501															Číslo revize: 505020100501															Číslo revize: 505020100501															Číslo revize: 505020100501														
Číslo revize: 1020002620															Číslo revize: 505020100501															Číslo revize: 505020100501															Číslo revize: 505020100501															Číslo revize: 505020100501															Číslo revize: 505020100501														
Číslo revize: 1020002620															Číslo revize: 505020100501															Číslo revize: 505020100501															Číslo revize: 505020100501															Číslo revize: 505020100501															Číslo revize: 505020100501														
Číslo revize: 1020002620															Číslo revize: 505020100501															Číslo revize: 505020100501															Číslo revize: 505020100501															Číslo revize: 505020100501															Číslo revize: 505020100501														
Číslo revize: 1020002620															Číslo revize: 505020100501															Číslo revize: 505020100501															Číslo revize: 505020100501															Číslo revize: 505020100501															Číslo revize: 505020100501														
Číslo revize: 1020002620															Číslo revize: 505020100501															Číslo revize: 505020100501															Číslo revize: 505020100501															Číslo revize: 505020100501															Číslo revize: 505020100501														
Číslo revize: 1020002620															Číslo revize: 505020100501															Číslo revize: 505020100501															Číslo revize: 505020100501															Číslo revize: 505020100501															Číslo revize: 505020100501														
Číslo revize: 1020002620															Číslo revize: 505020100501															Číslo revize: 505020100501															Číslo revize: 505020100501															Číslo revize: 505020100501															Číslo revize: 505020100501														
Číslo revize: 1020002620															Číslo revize: 505020100501															Číslo revize: 505020100501															Číslo revize: 505020100501															Číslo revize: 505020100501															Číslo revize: 505020100501														
Číslo revize: 1020002620															Číslo revize: 505020100501															Číslo revize: 505020100501															Číslo revize: 505020100501															Číslo revize: 505020100501															Číslo revize: 505020100501														
Číslo revize: 1020002620															Číslo revize: 505020100501															Číslo revize: 505020100501															Číslo revize: 505020100501															Číslo revize: 505020100501															Číslo revize: 505020100501														
Číslo revize: 1020002620															Číslo revize: 505020100501															Číslo revize: 505020100501															Číslo revize: 505020100501															Číslo revize: 505020100501															Číslo revize: 505020100501														
Číslo revize: 1020002620															Číslo revize: 505020100501															Číslo revize: 505020100501															Číslo revize: 505020100501															Číslo revize: 505020100501															Číslo revize: 505020100501														
Číslo revize: 1020002620															Číslo revize: 505020100501															Číslo revize: 505020100501															Číslo revize: 505020100501															Číslo revize: 505020100501															Číslo revize: 505020100501														
Číslo revize: 1020002620															Číslo revize: 505020100501															Číslo revize: 505020100501															Číslo revize: 505020100501															Číslo revize: 505020100501															Číslo revize: 505020100501														
Číslo revize: 1020002620															Číslo revize: 505020100501															Číslo revize: 505020100501															Číslo revize: 505020100501															Číslo revize: 505020100501															Číslo revize: 505020100501														
Číslo revize: 1020002620															Číslo revize: 505020100501															Číslo revize: 505020100501															Číslo revize: 505020100501															Číslo revize: 505020100501															Číslo revize: 505020100501														
Číslo revize: 1020002620															Číslo revize: 505020100501															Číslo revize: 505020100501															Číslo revize: 505020100501															Číslo revize: 505020100501															Číslo revize: 505020100501														
Číslo revize: 1020002620																																																																																									

[illegible]

05.08.2021 BK R110-R22-DPS-20210731 =AJA20+ASJ20&EMA K122 CE1										Č.výkr.zhot.: 505020100501 Čísloby: 1020002620										OMEXOM																																																																															
Č. KABEL										OBSAZ ŽIL: VÝKRA\SPOL										TYP KABELU:										VÝKRA\SPOL										TYP SVORKY:										MATERIÁL VODIČŮ										Ø BARVA										TYP SVORKY:										STANDARD:										830-831 VBST 4-FS									
1										2										3										4										5										6										7										8																													
Č. KABEL										OBSAZ ŽIL: VÝKRA\SPOL										TYP KABELU:										VÝKRA\SPOL										TYP SVORKY:										MATERIÁL VODIČŮ										Ø BARVA										TYP SVORKY:										STANDARD:										830-831 VBST 4-FS									
1										2										3										4										5										6										7										8																													
Č. KABEL										OBSAZ ŽIL: VÝKRA\SPOL										TYP KABELU:										VÝKRA\SPOL										TYP SVORKY:										MATERIÁL VODIČŮ										Ø BARVA										TYP SVORKY:										STANDARD:										830-831 VBST 4-FS									
1										2										3										4										5										6										7										8																													
Č. KABEL										OBSAZ ŽIL: VÝKRA\SPOL										TYP KABELU:										VÝKRA\SPOL										TYP SVORKY:										MATERIÁL VODIČŮ										Ø BARVA										TYP SVORKY:										STANDARD:										830-831 VBST 4-FS									
1										2										3										4										5										6										7										8																													
Č. KABEL										OBSAZ ŽIL: VÝKRA\SPOL										TYP KABELU:										VÝKRA\SPOL										TYP SVORKY:										MATERIÁL VODIČŮ										Ø BARVA										TYP SVORKY:										STANDARD:										830-831 VBST 4-FS									
1										2										3										4										5										6										7										8																													
Č. KABEL										OBSAZ ŽIL: VÝKRA\SPOL										TYP KABELU:										VÝKRA\SPOL										TYP SVORKY:										MATERIÁL VODIČŮ										Ø BARVA										TYP SVORKY:										STANDARD:										830-831 VBST 4-FS									
1										2										3										4										5										6										7										8																													
Č. KABEL										OBSAZ ŽIL: VÝKRA\SPOL										TYP KABELU:										VÝKRA\SPOL										TYP SVORKY:										MATERIÁL VODIČŮ										Ø BARVA										TYP SVORKY:										STANDARD:										830-831 VBST 4-FS									
1										2										3										4										5										6										7										8																													
Č. KABEL										OBSAZ ŽIL: VÝKRA\SPOL										TYP KABELU:										VÝKRA\SPOL										TYP SVORKY:										MATERIÁL VODIČŮ										Ø BARVA										TYP SVORKY:										STANDARD:										830-831 VBST 4-FS									
1										2										3										4										5										6										7										8																													
Č. KABEL										OBSAZ ŽIL: VÝKRA\SPOL										TYP KABELU:										VÝKRA\SPOL										TYP SVORKY:										MATERIÁL VODIČŮ										Ø BARVA										TYP SVORKY:										STANDARD:										830-831 VBST 4-FS									
1										2										3										4										5										6										7										8																													
Č. KABEL										OBSAZ ŽIL: VÝKRA\SPOL										TYP KABELU:										VÝKRA\SPOL										TYP SVORKY:										MATERIÁL VODIČŮ										Ø BARVA										TYP SVORKY:										STANDARD:										830-831 VBST 4-FS									
1										2										3										4										5										6										7										8																													
Č. KABEL										OBSAZ ŽIL: VÝKRA\SPOL										TYP KABELU:										VÝKRA\SPOL										TYP SVORKY:										MATERIÁL VODIČŮ										Ø BARVA										TYP SVORKY:										STANDARD:										830-831 VBST 4-FS									
1										2										3										4										5										6										7										8																													
Č. KABEL										OBSAZ ŽIL: VÝKRA\SPOL										TYP KABELU:										VÝKRA\SPOL										TYP SVORKY:										MATERIÁL VODIČŮ										Ø BARVA										TYP SVORKY:										STANDARD:										830-831 VBST 4-FS									
1										2										3										4										5										6										7										8																													
Č. KABEL										OBSAZ ŽIL: VÝKRA\SPOL										TYP KABELU:										VÝKRA\SPOL										TYP SVORKY:										MATERIÁL VODIČŮ										Ø BARVA										TYP SVORKY:										STANDARD:										830-831 VBST 4-FS									
1										2										3										4										5										6										7										8																													
Č. KABEL										OBSAZ ŽIL: VÝKRA\SPOL										TYP KABELU:										VÝKRA\SPOL										TYP SVORKY:										MATERIÁL VODIČŮ										Ø BARVA										TYP SVORKY:										STANDARD:										830-831 VBST 4-FS									
1										2										3										4										5										6										7										8																													
Č. KABEL										OBSAZ ŽIL: VÝKRA\SPOL										TYP KABELU:										VÝKRA\SPOL										TYP SVORKY:										MATERIÁL VODIČŮ										Ø BARVA										TYP SVORKY:										STANDARD:										830-831 VBST 4-FS									
1										2										3										4										5										6										7										8																													
Č. KABEL										OBSAZ ŽIL: VÝKRA\SPOL										TYP KABELU:										VÝKRA\SPOL										TYP SVORKY:										MATERIÁL VODIČŮ										Ø BARVA										TYP SVORKY:										STANDARD:										830-831 VBST 4-FS									
1										2										3										4										5										6										7										8																													
Č. KABEL										OBSAZ ŽIL: VÝKRA\SPOL										TYP KABELU																																																																															

[illegible]

[illegible]

[illegible]



[illegible]



[illegible]

Č. výkř.zhot.: 505020100501 Čísloby: 1020002620															Č. KABEL															OBSAZ.ŽIL: VÝKŘ.LSPOL															TYP KABELU:															ŽÍLA															POKRAČUJE															SCH. ZAPOJENÍ																																																																																																																																																																																																																																																																																																																																																																																																																																																																																																																																																																																																																																																																																																																																																																																																																																																																																																																																																																																																																																																																																																																																																																																																																																																																																																																																																																																																																																																																																																																																																																																																																																																																																																																																																																																																																																																																																																																																																																																																																																																																																																																																																																																																																																																																																																																																																																																																																																																																																																																																																																																																																																																																																																																																																																																																																																																																																																																																																																																																																																																																																																																																																																																																																																																																																																																																																																																																																																																																																																																																																																																																																																																																																																																																																																																																																																																																																																																																																																																																																																																																																																																																																																																																																																																																																																																																																																																																																																																																																																																																																																																																																																																																																																																																																																																																																																																																																																																																																																																																																																																																																																																																																																																																																																																																																																																																																																																																																																																																																																																																																																																																																																																																																																																																																																																																																																																																																																																																																																																																																																																																																																																																																																																																																																																																																																																																																																																																																																																																																																																																																																																																																																																																																																																																																																																																																																																																																																																																																																																																																																																																																																																																																																																																																																																																																																																																																																																																																																																																																																																																																																																																																																																																																																																																																																																																																																																																																																																																																																																																																																																																																																																																																																																																																																																																																																																																																																																																																																			

[illegible]